

The effect of drought stress on enzymatic and molecular changes of some antioxidants in parental and mutant bread wheat genotype using RNAseq. data

M. Radfar¹, S.S. Ramezanpour^{2*}, H. Soltanloo², L. Kianmehr³

1. PhD student in nuclear agriculture and plant biotechnology, Gorgan University of Agricultural Sciences and Natural Resources, Gorgan, Iran

2. Associate Professor, Department of Plant Breeding and Biotechnology, Gorgan University of Agricultural Sciences and Natural Resources Gorgan, Iran

3. Postdoctoral Researcher Fellow, Department of Life Sciences and Biotechnology, University of Shahid Beheshti, Tehran, Iran

Received 20 Decdmber 2021; Accepted 19 February 2022

Extended abstract

Introduction

Wheat (*Triticum aestivum* L.) is one of the most important grains used in the world and its production is reduced in different regions due to drought stress. the plant antioxidant system can scavenge the reactive oxygen species (ROS) produced under drought. Induction of mutation using gamma ray is one of the common methods for genetic modification and identification of tolerant and resistant mutants. Mutant T65-58-8 is one of these drought tolerant genotypes that has been obtained by irradiation to Tabasi wheat genotype. The wheat plant needs irrigation during the flowering stage and drought stress is very important in this stage. In this study, in the flowering stage, the enzymes superoxide dismutase (SOD), catalase (CAT), glutathione reductase (GR) and glutathione peroxidase (GPX) involved in the mechanisms of tolerance to oxidative damage of ROS in the flag leaf were studied and the expression of the genes related to these enzymes was investigated using RNAseq. method.

Materials and methods

Drought stress was applied based on field capacity (FC). The experiment was performed as a factorial experiment in a completely randomized design with three replications. Factors studied in this experiment include genotype at two levels (Tabasi parent and Mutant T65-58-8) and drought stress at 5 levels (100% FC or control, 75%, 22%, re-sampling from control pots at 18% FC and sampling after re-irrigation to the pot when had 90% FC). Wheat growth stages can be studied by Zadoks index. SOD activity was measured by Minami and Yoshikawa method, CAT activity by Aebi method, GR activity by Foyer and Halliwell method and GPX activity by Hopkins and Tudhope method. RNA sequencing was performed using Illumina NovaSeq 6000. Gene expression was obtained based on sequencing data by Bowtie2, Tophat2, HTseq-count and Featurecount softwares. After normalization by generating FPKM, Log2FC gene expression was calculated.

Results and discussion

Examination of superoxide dismutase (SOD), catalase (CAT), glutathione reductase (GR) and glutathione peroxidase (GPX) indices showed a significant difference ($p < 0.01$). Comparisons showed

* Corresponding author: Seyedeh Sanaz Ramezanpour; E-Mail: [rmezanpours@gau.ac.ir](mailto:ramezanpours@gau.ac.ir)



that SOD and CAT activity was higher in the mutant genotype at all stress levels. In the Tabasi genotype, re-irrigation increased the activity of SOD and CAT enzymes compared to the activity of this enzyme in field capacity 18%. In the study of GR and GPX enzymes, it was found that in both genotypes, the activity of these enzymes increases with increasing drought stress. In the Tabasi genotype, irrigation reduced the activity of GR enzyme and in the Tabasi and mutant genotypes, re-irrigation did not reduce the activity of GPX enzyme. Examination of GPX activity showed that this enzyme has a constant activity in mutant genotype under drought stress conditions. Examination of 21 genes related to SOD enzymes showed that six genes named *FSD3*(1), *CSD1*(2), *FSD2*(2) and *CCS*(1) mutant genotype had significant expression changes in drought stress conditions compared to the control. 6 catalase-related *CAT1*(3) and *CAT2*(3) genes from 14 genes related to CAT also had a significant increase in mutant genotype under drought stress compared to the control. One *CAT1* gene and two *CAT2* genes in mutant genotype had more expression in drought conditions than Tabasi genotype. 7 genes called CSA associated with GPX from 16 genes related to GPX also had a significant increase in mutant genotype under drought stress compared to the control. H_2O_2 , KCN, chloroform-ethanol, sodium azide (NaN_3), metal ions, carbohydrates, polyethylene glycol affect the activity of SOD. NaN_3 , amines, potassium cyanide and salicylic acid affect the activity of CAT. Gold, vitamin-E and selenium can also affect GPX activity.

Conclusion

The study shows that the activity of SOD, CAT and GPX enzymes in both genotypes has increased under drought stress conditions. However, comparison of the expression of known genes related to these three enzymes shows that only some of these known genes have been altered. One *FSD3* gene, two *CSD1* genes, two *FSD2* genes and one *CCS* gene had significant expression changes in the mutant genotype under drought stress compared to the control. This could be considered as confirmation of the increase in superoxide dismutase activity in the mutant genotype under drought stress, but the difference in expression of these 6 genes in the mutant genotype under drought stress compared to the Tabasi genotype under drought stress was not significant. This indicates that other factors in the mutant genotype under drought stress have increased the activity of SOD enzyme or limited the production or activity of this enzyme in the Tabasi genotype under drought stress. From the 6 altered genes expressed in the mutant genotype under drought stress compared to the control, one gene called *CAT1* and two genes called *CAT2* in the mutant genotype under drought stress showed more expression than the Tabasi genotype under drought stress. These genes can be introduced as genes involved in more tolerance of mutant genotype to drought stress than Tabasi genotype under drought stress. 7 genes called CSA had a significant change in expression in the mutant genotype under drought stress compared to the control, but these genes were not significantly different in the mutant genotype compared to the Tabasi under drought stress. Comparison of glutathione reductase enzyme in mutant and Tabasi genotypes in drought condition showed that the activity of this enzyme in the two genotypes was not significantly different. The activity of SOD, CAT and GPX enzymes can be inhibited or intensified by chemical agents and compounds.

Keywords: Altered gene expression, Enzymatic antioxidants, Field capacity, Mutant wheat, RNA sequencing



تأثیر تنش خشکی بر تغییرات آنژیمی و مولکولی برخی آنتی‌اکسیدان‌ها در ژنوتیپ والدی و جهش‌یافته گندم نان با استفاده از داده‌های RNAseq

میثم رادفر^۱، سیده ساناز رمضانپور^{۲*}، حسن سلطانلو^۳، لیلا کیانمهر^۳

۱. دانشجوی دکتری کشاورزی هسته‌ای و بیوتکنولوژی گیاهی، دانشگاه علوم کشاورزی و منابع طبیعی گرگان
۲. دانشیار گروه اصلاح نباتات و بیوتکنولوژی، دانشگاه علوم کشاورزی و منابع طبیعی گرگان
۳. محقق پسادکتری، گروه علوم زیستی و بیوتکنولوژی، دانشگاه شهید بهشتی تهران

مشخصات مقاله	چکیده
واژه‌های کلیدی:	گندم یکی از مهم‌ترین غلات جهان بوده و میزان تولید آن در مناطق مختلف تحت تأثیر خشکی کاهش می‌یابد.
آنٹی‌اکسیدان‌های آنژیمی	مواتان-8 T65-58-58-58 یک ژنوتیپ متحمل به خشکی است که با پرتودهی به گندم طبیعی ایجاد شده است. در این تحقیق در مرحله گلدلهی به مطالعه آنژیم‌های دخیل در مکانیسم‌های تحمل به خسارتخانه اکسیداتیو ناشی در برگ پرچم پرداخته شده و بیان ژن‌های مرتبط با این آنژیم‌ها نیز با استفاده از روش RNAseq بررسی شد. مقدار تنش خشکی بر اساس ظرفیت زراعی اعمال گردید. بررسی ساختهای سوبر اکسید دیسموتاز (SOD)، کاتالاز (CAT)، گلوتاتئون ردوکتاز (GR) و گلوتاتئون پراکسیداز (GPX) نشان داد در سطح احتمال یک درصد تفاوت معنی‌دار وجود دارد. با افزایش تنش خشکی، میزان فعالیت آنژیم سوبر اکسید دیسموتاز و کاتالاز در هر دو ژنوتیپ افزایش یافته است و این افزایش در ژنوتیپ مواتان بیشتر از والد طبیعی بود. بررسی ۲۱ ژن مرتبط با آنژیم سوبر اکسید دیسموتاز نشان داد که بیان یک ژن FSD3، دو ژن CSDI، دو ژن FSD2 و یک ژن CCS در ژنوتیپ مواتان در شرایط تنش خشکی نسبت به شاهد تغییر بیان معنی‌داری داشتند. از ۱۴ ژن مرتبط با کاتالاز، ۳ ژن با نام CAT1 و ۳ ژن با نام CAT2 در ژنوتیپ مواتان در شرایط تنش خشکی نسبت به شاهد افزایش معنی‌داری داشته‌اند. یک ژن CAT1 و دو ژن CAT2 در ژنوتیپ مواتان در شرایط خشکی دارای بیان بیشتری نسبت به ژنوتیپ والد طبیعی بود. افزایش تنش خشکی باعث افزایش میزان فعالیت آنژیم‌های گلوتاتئون ردوکتاز و گلوتاتئون پراکسیداز شده و فعالیت این آنژیم‌ها در ژنوتیپ والد بیشتر از ژنوتیپ مواتان بود. از ۱۶ ژن مرتبط با گلوتاتئون پراکسیداز تعداد ۷ ژن با نام CSA در ژنوتیپ مواتان در شرایط تنش خشکی نسبت به شاهد افزایش معنی‌داری داشتند. فعالیت آنژیم‌های SOD، GPX و CAT می‌تواند تحت تأثیر عوامل و ترکیبات شیمیایی مهار یا تشید شود.
تاریخ دریافت:	۱۴۰۰/۹/۲۹
تاریخ پذیرش:	۱۴۰۰/۱۱/۳۰
تاریخ انتشار:	۱۴۰۲/۰۹/۰۱
	۱۶(۳): ۷۶۵-۷۸۵

مقدمه

غلات اصلی ترین گیاهان در حال کشت در روی زمین هستند و گندم به عنوان یک عضو از این خانواده نسبت به سایر غلات با میزان تولید کمی بیش از ۷۳۴ میلیون تن پس از ذرت (Zea mays L.) و برنج (Oryza sativa L.) در رتبه سوم جهان از نظر مقدار تولید و با کمی بیش از ۲۱۴ میلیون هکتار در رتبه اول جهان از نظر سطح برداشت قرار دارد. (FAO, 2018).

جمعیت جهان در حال افزایش است و گیاهان یکی از اصلی‌ترین منابع تأمین انرژی برای این جمعیت در حال افزایش می‌باشند. به دلیل چالش‌های آب‌وهایی و تأثیر تنش‌های محیطی زنده و غیرزنده روی عملکرد گیاهان، افزایش بهره‌وری در کاشت، داشت و برداشت و جلوگیری از خسارت، همواره یکی از دغدغه‌های مهم جامعه بشری بوده است.

مرحله پر شدن دانه‌ها و پیش از گلدهی بحرانی‌ترین مراحل رشد و نمو گندم به تنش خشکی است (Rajaram et al., 1996; Reddy et al., 2004a). تنش خشکی با تأثیر بر عملکردهای مختلف فیزیولوژیکی و بیوشیمیایی مانند فتوسنتز، سنتر کلروفیل، متابولیسم مواد مغذی، جذب و انتقال یون، تنفس و متابولیسم کربوهیدرات‌ها، رشد گیاه را کاهش می‌دهد (Jaleel et al., 2008; Farooq et al., 2009; Li et al., 2011). در طول تنش خشکی، محدودیت غلظت CO_2 بین سلولی منجر به تجمع اجزای انتقال الکترون فتوسنتزی می‌شود که می‌تواند اکسیژن مولکولی را کاهش دهد و درنتیجه باعث تولید گونه‌های فعال اکسیژن (ROS)^۱ که برای دستگاه فتوسنتز مضر است، شود (Basu et al., 2016).

روی هم‌رفته، قرار گرفتن گیاه در معرض نور بیش از حد دائمی و کم بودن دی‌اکسید کربن، الکترون‌ها را به سمت مولکول اکسیژن هدایت می‌کند و منجر به تولید ROS می‌شود (Asada, 2006). درواقع، هنگامی که نور دریافت شده توسط سیستم‌های نوری گیاه، نتواند برای فتوسنتز یا تنفس نوری استفاده شود و به صورت گرما نیز نتواند دفع شود، باعث انفجار اکسیدانتیو می‌شود، مکانیسمی که در بسیاری از تنش‌ها مشترک است (Chaves et al., 2003). در بین اجزای سلول گیاهی، لیپیدهای غشایی و ماکرومولکول‌ها مانند DNA و پروتئین‌ها ممکن است توسط ROS‌هایی مانند پراکسید هیدروژن (H_2O_2)، رادیکال سوپراکسید (O_2^-)، رادیکال هیدروکسیل (OH) یا اکسیژن تک (O₂) آسیب بینند (Kasim et al., 2013). تنش خشکی نیز باعث تولید ROS‌ها خصوصاً رادیکال سوپراکسید و پراکسید هیدروژن می‌شود (Reddy et al., 2004b).

آسیب‌های ناشی از ROS و اختلال در شرایط پایدار سلولی^۲ با عملکرد آنتی‌اکسیدانی آنزیمی مختلف مانند کاتالاز (CAT)^۳، سوپراکسید دیسموتاز (SOD)^۴، پراکسیداز (POD)^۵، گلوتاتیون ردوکتاز (GR)^۶، آسکوربات پراکسیداز (APX)^۷، گلوتاتیون پراکسیداز (GPX)^۸ و عملکرد آنتی‌اکسیدانی غیر آنزیمی مانند اسید اسکوربیک^۹،

گندم نان (Triticum aestivum L.) یکی از غلات مهمی است که به دلیل غنی بودن از لحاظ مواد مغذی و قابلیت تهیه انواع غذاها، در سرتاسر جهان مورداستفاده قرار می‌گیرد. در چند وقت اخیر، مصرف گندم بهشت تفاضلی‌شده آن سودمند است اما در مصرف آن اثرات منفی نیز مشاهده شده است (Gayathri and Rashmi, 2016). حدود ۹۵ درصد گندم تولیدشده در جهان از نوع نان است (Peng et al., 2011).

کشور ایران با مساحتی حدود ۱۶۵ میلیون هکتار در محدوده ۲۵ تا ۴۰ درجه عرض جغرافیایی و در یکی از مناطق بسیار خشک جهان واقع شده است. متوسط میزان بارندگی در ۷۰ درصد کشور کمتر از ۲۵۰ میلی‌متر در سال است (Mesgaran et al., 2016; Alimohamadi, 2002). در ایران مانند بسیاری از کشورهای جهان، نان حاصل از گندم مهم‌ترین ماده غذایی روزانه و قوت اصلی را تشکیل می‌دهد و نقش عمده‌ای در تأمین انرژی و پروتئین موردنیاز بدن را بر عهده دارد (Noormohammadi et al., 2007). کشت بهینه گندم در ایران با چالش‌های گوناگونی مواجه است. آفت‌ها و بیماری‌ها، کاشت عمدۀ به صورت دیم، وجود ارقام و ژنوتیپ‌های مختلف، فرسودگی ادوات و تجهیزات مربوط به کاشت و برداشت، قابلیت تأمین و استفاده مناسب از بذر، کود و سموم و نیز شرایط آب‌وهواهی و بهویژه اقلیم خشک و کمبارش کشور از جمله بخشی از چالش‌های کشت گندم در ایران است.

تشهای خشکی به محدودیت آب در یک دوره‌ی زمانی طولانی اطلاق می‌گردد (Gokcay, 2012). امروزه یکی از چالش‌های مهم برای رشد گندم در کل جهان کمبود آب است که منجر به کاهش عملکرد این گیاه زراعی در بیش از ۷۰ درصد زمین‌های زراعی گردیده است و در آینده نزدیک که فعالیت‌های کشاورزی به مناطق با حاصلخیزی کمتر برای پاسخ به نیازهای فزاینده غذایی بشر گسترش می‌یابند، محدودیت آب اهمیت بیشتری خواهد یافت (Flexas et al., 2011; Foley et al., 2013).

⁷ Ascorbate Peroxidase

⁸ Glutathione Peroxidase

⁹ Ascorbic acid (vitamin C)

¹ Reactive Oxygen Species

² Homeostasis

³ Catalase

⁴ Superoxide Dismutase

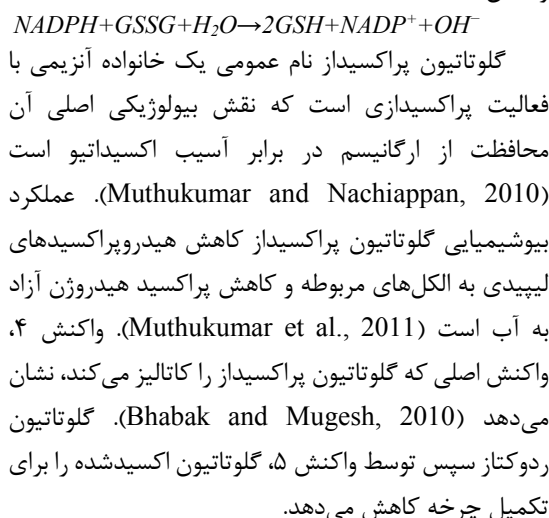
⁵ Peroxidase

⁶ Glutathione Reductase

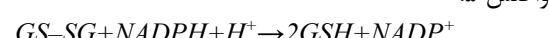
کاتالاز حاوی چهار گروه آهن است که به آنزیم اجازه می‌دهد با پراکسید هیدروژن واکنش نشان دهد (Maehly and Chance, 1954). واکنش^۲:



واکنش^۳:



واکنش^۴:



^۲ α -Tocopherols

کاروتونوئیدها^۱، آلفا-توکوفرول‌ها^۱ و افزایش محتوای گلایسین بتائین و مقدار گلوتاتیون، کاهش می‌یابد (Gill and Tuteja, 2010; Chen et al., 2016; Hussain et al., 2016). بر اساس سطوح تولید ROS، میزان سمزدایی در گیاهان توسط سیستم‌های آنتیاکسیدانی آنزیمی و یا غیر آنزیمی تنظیم می‌شود. تحمل گیاهان در برابر تنفس‌های غیرزیستی با مکانیسم تولید ROS و مهار آن توسط طرفیت بالای آنتیاکسیدانی گیاه ارتباط دارد (Gill and Tuteja, 2010).

سوپر اکسید دیسموتازها (SODs) آنزیم‌های حاوی فلز هستند که باعث تغییر شکل رادیکال‌های سوپر اکسید (O_2^-) به اکسیژن (O_2) و پراکسید هیدروژن (H_2O_2) می‌شوند (واکنش^۱). این آنزیم در همه موجودات هوایی مورد بررسی قرار گرفته است و نقش مهمی در دفاع در برابر رادیکال‌های آزاد اکسیژن که به عنوان محصولات جانبی بسیاری از اکسیداسیون‌های بیولوژیکی تولید می‌شوند، ایفا می‌کند. شرایط محیطی می‌توانند تولید رادیکال‌های اکسیژن را تشدید کنند و در نتیجه پیشنهاد شده است که SOD برای تحمل تنفس گیاه مهم است (Bowler et al., 1994).

آنزیم سوپر اکسید دیسموتاز (SOD) پالاینده اصلی

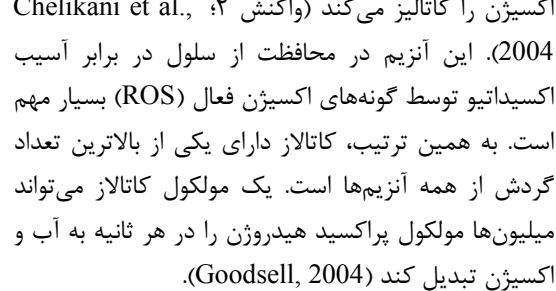
رادیکال‌های آزاد اکسیژن است؛ بنابراین SOD دفاع اولیه در

مقابل رادیکال‌های آزاد اکسیژن اطلاق می‌شود. این آنزیم با

پایین نگهداشتن غلظت سوپر اکسید باعث می‌شود که تشکیل

رادیکال هیدروکسیل نیز به حداقل برسد. فرم‌های آبزوزایی مختلفی از این آنزیم در گیاهان شناسایی شده است.

واکنش^۱:



کاتالاز از چهار زنجیره پلی‌پپتیدی تشکیل شده است که هر کدام بیش از ۵۰۰ اسید‌آمینه دارد (Boon et al., 2007).

^۱ Carotenoids

مواد و روش‌ها

در این تحقیق دو ژنتیپ گندم والد طبیعی و موتانت-T65-58-8 در دانشگاه علوم کشاورزی و منابع طبیعی گرگان مورد کشت و آنالیزهای تحقیقاتی قرار گرفته‌اند. گندم طبیعی پالند و حساس به ورس بوده و نیز یکی از بهترین گندم‌ها برای مناطق خشک و شور ایران است. این رقم در سازمان انرژی اتمی ایران (پژوهشکده تحقیقات کشاورزی، پژوهشکی و صنعتی کرج، البرز، ایران) با هدف مقاومت به ورس موردبررسی و اصلاح قرار گرفته است (Majd and Ardakani, 2003).

آزمایش به صورت فاکتوریل در قالب طرح کاملاً تصادفی با سه تکرار، انجام شد. فاکتورهای موردبررسی در این آزمایش شامل ژنتیپ در دو سطح (والد طبیعی و موتانت-T65-58-8) و تنش خشکی در ۵ سطح (۰٪ ظرفیت زراعی یا شاهد، ۷۵٪ ظرفیت زراعی، ۲۲٪ ظرفیت زراعی، نمونه‌برداری مجدد از گلدان شاهد در ۱۸٪ ظرفیت زراعی و نمونه‌برداری پس از آبیاری مجدد به گلدان دارای ۳۰٪ ظرفیت زراعی در ۹۰٪ آبیاری مجدد به گلدان دارای ۳۰٪ ظرفیت زراعی در ۳۰ گلدان پلاستیکی ۲۰۰ گرمی به ابعاد دهانه ۲۳ سانتی‌متر و ارتفاع ۲۱،۵ سانتی‌متر که هر کدام حاوی ۳۵۰۰ گرم خاک لوم با ترکیب رس، شن و سیلت به نسبت ۱:۲:۲ بود، استفاده شد. هنگام تهیه بستر کشت، به ۲۵۰ کیلوگرم خاک ۱۲/۵ کیلوگرم کود حیوانی اضافه و مخلوط گردید.

برای اندازه‌گیری مقدار ظرفیت زراعی خاک، تعداد ۶ گلدان مشابه آماده و داخل هر کدام از آن‌ها مقدار ۳۵۰۰ گرم از خاک تهیه‌شده برای انجام این آزمایش ریخته شد. عدد از این گلدان‌ها به صورت یکسان آبیاری شدند تا به حالت غرق آب و اشباع در آیند و خاک ۳ گلدان نیز به مدت ۲۴ ساعت در دمای ۱۰۵ درجه سانتی‌گراد قرار گرفت تا خشک شود. (Bilski, 2001; IAEA, 2008)

به منظور جلوگیری از تبخیر با پلاستیک پوشانده شد. وزن این گلدان‌ها هر ۶ ساعت اندازه‌گیری و ثبت شد. اندازه‌گیری تا زمانی که وزن گلدان‌ها تقریباً ثابت شد ادامه یافت. در این حالت آب چلی از خاک اشباع داخل گلدان جدا و از زیر گلدان خارج شده و مقدار رطوبت باقیمانده در خاک، آب موجود در نقطه ظرفیت زراعی را نشان می‌دهد. با کم کردن میانگین وزن خاک سه گلدان خشک از خاک سه گلدان مربوط در نقطه ظرفیت زراعی، میزان آب خاک برای هر گلدان در نقطه

درنتیجه می‌توان گفت گلوتاتیون ردوکتاز (GR) نسبت GSH/GSSG را تنظیم و GSH را برای GPX و DHAR پایداری می‌نماید که به ترتیب H_2O_2 را به O_2 تبدیل می‌کند و آسکوربات اکسیدشده را کاهش می‌دهد. عموماً یک تاسه روز پس از خیس شدن خاک بهوسیله باران یا آبیاری، رطوبت موجود در خاک به شرایط نسبتاً پایداری می‌رسد، این حد رطوبت، ظرفیت زراعی (FC) نامیده می‌شود. در این حالت منافذ درشت خاک، آب خود را ازدستداده ولی منافذ ریز هنوز پر از آب است و گیاهان می‌توانند از آن استفاده کنند. رطوبت ظرفیت زراعی حد بالایی از رطوبت قابل جذب گیاه را نشان می‌دهد و هرچه رطوبت از این حد بیشتر باشد تحت تأثیر نیروی ثقل از خاک و حوزه فعالیت ریشه‌ها خارج می‌شود (Theophilo and Marta, 2010).

اصطلاح اصلاح موتابیونی^۱ (با استفاده از جهش) اولین بار برای اشاره به القاء (گزینش) آگاهانه و توسعه لاینهای جهش‌یافته به منظور بهبود گیاهان زراعی مطرح گردید. این اصطلاح همچنان در مفهوم گستره‌تری برای بهره‌برداری از جهش‌یافته‌های طبیعی و همچنین خودبه‌خودی^۲ و توسعه هر واریته حامل یک جهش شناخته‌شده با هر منبعی، کاربرد دارد (Nouri et al., 2014).

به مجموع تمام رونوشت‌های RNA یک ارگانیسم ترانسکریپtom گفته می‌شود (Clark, 2005). (مخفف «توالی‌یابی RNA») یک تکنیک توالی‌یابی است که از توالی‌یابی نسل آینده (NGS)^۳ برای نشان دادن وجود و مقدار RNA، در یک نمونه بیولوژیکی در یک لحظه معین، جهت تجزیه و تحلیل تغییرات ترانسکریپtom سلولی استفاده می‌کند (Chu and corey, 2012; Wang et al., 2009). با توجه به کاهش شدید هزینه‌های توالی‌یابی نسل آینده، بررسی ترانسکریپtom می‌تواند به رمزگشایی بیان ژن افتراقی بین ارقام یا ژنتیپ‌های متضاد کمک کند. چنین رویکردی می‌تواند ژن‌های کاندید کنترل کننده تحمل به خشکی را در گندم کشف کند (Edwards et al., 2013; Berkman et al., 2012).

³ Spontaneous

⁴ Next-Generation Sequencing

¹ Field Capacity

² Mutation Breeding

گندم به مرحله گل‌دهی (زادوکس ۶۰)، آبیاری به گلدان‌ها انجام و ۴ ساعت بعد، نمونه‌گیری از برگ پرچم بوته‌های گندم آغاز شد. در اولین نوبت (زادوکس ۵۵)، نمونه‌گیری از برگ پرچم در حالتی که رطوبت خاک به میزان ۱۰۰٪ ظرفیت زراعی بود، انجام پذیرفت و به عنوان شاهد نام‌گذاری شد. سپس نمونه‌برداری دوم در زادوکس ۶۰، هنگامی که رطوبت خاک در ۷۵٪ ظرفیت زراعی بود صورت گرفت. نمونه‌برداری سوم در زادوکس ۶۸ و وقتی رطوبت خاک در ۲۲٪ ظرفیت زراعی بود، انجام شد. بر اساس جدول ۱ دو نمونه‌برداری دیگر نیز در زادوکس ۲۱ انجام گرفت به نحوی که از گلدان شاهد هنگامی که رطوبت آن ۱۸٪ ظرفیت زراعی بود مجدداً نمونه‌برداری شد. سپس از گلدانی که دارای رطوبت به میزان ۳۰٪ ظرفیت زراعی بود و به آن تا نقطه ۱۰۰٪ ظرفیت زراعی آبیاری مجدد انجام شده بود، وقتی رطوبت گلدان به ۹۰٪ ظرفیت زراعی رسید نمونه‌گیری انجام شد.

ظرفیت زراعی به دست می‌آید. از این اعداد جهت آبیاری گلدان‌ها و حفظ آب در نقطه ظرفیت زراعی استفاده شد. در هر واحد آزمایشی (گلدان) ۱۰ بذر کشت شد. سپس تعداد بوته‌ها در مرحله گیاهچه‌ای به صورت ۵ گیاه در هر گلدان تنک گردید. وزن گلدان‌ها از زمان کاشت بذر تا زمان پنجه‌زنی به صورت منظم هر هفته یکبار و سپس هفته‌ای دو بار اندازه‌گیری و تا زمان اعمال تنفس، با آبیاری، رطوبت آن تا حد ظرفیت زراعی حفظ گردید.

گیاه گندم در طی مرحله گل‌دهی به آبیاری نیاز داشته و تنفس خشکی در این مرحله دارای اهمیت بسیاری است. Zadoks et al., (1974) قابل مطالعه است. تلقیح در یک سنبله برای تمام سنبله‌ها پس از ۱۰ روز به اتمام می‌رسد و در طول این مدت معمولاً سنبله‌ها به خسارت ناشی از درجه حرارت کم، زیاد یا تنفس رطوبت بسیار حساس می‌باشند (Razmi, 2016). لذا بر اساس شاخص زادوکس ۵ روز قبل از رسیدن بوته‌های

جدول ۱. روز و مقدار رطوبت خاک به هنگام نمونه‌برداری بر اساس شاخص زادوکس و ظرفیت زراعی خاک

Table 1. Day and amount of soil moisture during sampling based on Zadoks index and soil arable capacity.

Sampling	نمونه‌برداری	Soil moisture based on Field Capacity				
		ظرفیت زراعی	Control (100%)	(75%)	(22%)	Rewater to 30% (90%)
Field Capacity						Second sample from Control (18%)
Sampling day based on Zadoks index	روز نمونه‌برداری بر اساس شاخص زادوکس	55	60	68	71	71

SOD، مقدار آنزیم موردنیاز برای مهار ۵۰٪ سرعت احیا NBT است. بدین منظور محلول واکنش شامل ۵۵ هزار مول نیترو بلو تترازولیوم، ۱/۴۲٪ تراپیتون X-100، ۰/۱ میلی‌مولار EDTA، ۱۶ میلی مول پیروگالول بود. پس از اضافه کردن عصاره نمونه بافت، تغییر جذب در اسپکتروفوتومتر در طول موج ۵۶۰ نانومتر ارزیابی گردید. نتیجه مطابق تعریف مک‌کورد و فریدوویچ (McCord and Fridovich, 1969) و با واحد بین‌المللی برگم وزن تر برگ پرچم گزارش شد.

فعالیت کاتالاز با مصرف H_2O_2 در ۲۴۰ نانومتر به مدت ۳۰ ثانیه تعیین شد (Aebi, 1984). محلول سنجش حاوی ۱۰۰ میلی‌مولار بافر فسفات پتاسیم (pH=7)، ۱۵ میلی‌مولار H_2O_2 و ۵۰ میلی‌لیتر عصاره برگ در حجم ۳ میلی‌لیتر بود. یک واحد فعالیت CAT، مقدار مول H_2O_2 تجزیه شده در ۱

در هر سطح از تنفس خشکی، برگ پرچم ۳ بوته از ۵ بوته داخل هر گلدان جدا و به قطعات کوچک تقسیم و با هم دیگر ترکیب شد تا تکرار بیولوژیکی مربوط به همان گلدان ساخته شود. در هر مرحله، نمونه جمع‌آوری شده از هر گلدان که شامل ترکیب برگ پرچم ۳ بوته داخل همان گلدان بود، به چند قسمت جداگانه برای انجام آزمایش‌های بیوشیمیایی شامل مقدار SOD و آزمایش توالی‌یابی RNA تقسیم و هر قسمت داخل فویل استریل آلومینیومی که دارای برچسب اطلاعات نمونه‌برداری بود قرار گرفته و در داخل نیتروژن مایع از گلخانه به یخچال -۸۰ درجه سانتی‌گراد دانشگاه منتقل شد.

به منظور اندازه‌گیری میزان فعالیت آنزیم آنتیاکسیدانی سوپر اکسید دیسموتاز بر اساس تغییر شیمیایی نیترو بلو تترازولیوم (NBT)، از روش می‌نامی و یوشیکاوا (Minami and Yoshikawa, 1979) استفاده شد. یک واحد فعالیت

داده‌های بیوشیمیایی توسط نرم‌افزار SPSS در سطح معنی‌داری یک درصد بررسی شده و مقایسه میانگین با آزمون دانکن انجام شد. از نرم‌افزار Excel جهت رسم شکل‌های این تحقیق استفاده شد. از اطلاعات پایگاه‌های داده زیر نیز جهت بررسی داده‌های حاصل از توالی یابی استفاده گردید.

<http://systemsbiology.cau.edu.cn/agriGOv2/index.php>

<https://beta.uniprot.org>

<https://plantsensembl.org/index.html>

نتایج و بحث

بررسی نتایج حاصل از تجزیه واریانس داده‌ها نشان داد که اثر ژنوتیپ، تنش خشکی و اثر متقابل این دو فاکتور بر شاخص‌های سوپر اکسید دیسموتاز (SOD)، کاتالاز (CAT) و گلوتاتیون پراکسیداز (GPX) در سطح احتمال یک درصد معنی‌دار بود. همچنین نتایج نشان داد که تنش خشکی و اثر متقابل تنش خشکی و ژنوتیپ بر شاخص گلوتاتیون ردوکتاز (GR) در سطح احتمال یک درصد دارای اثر معنی‌دار بود و اثر ژنوتیپ بر این صفت معنی‌دار نبود (جدول ۲).

مقایسه میانگین‌ها نشان داد که فعالیت آنزیم سوپر اکسید دیسموتاز، در ژنوتیپ والد و موتانت با افزایش میزان تنش خشکی (کاهش میزان رطوبت) افزایش می‌یابد. این نتیجه با نتایج تحقیقات به دست آمده توسط سایر محققین مطابقت داشت (Malek et al., 2019; Song et al., 2017; Mohammadkhani and Sharifi, 2016). فعالیت آنزیم در نمونه موتانت شاهد بیشتر از نمونه والد طبیعی شاهد بود و با افزایش تنش خشکی در نمونه‌گیری دوم از گلدن شاهد در رطوبت ۱۸٪ مشخص گردید که فعالیت این آنزیم در هر دو نمونه نسبت به شاهد افزایش یافته و در نمونه موتانت بیشتر از نمونه والد بود. بررسی گیاهان در نمونه‌هایی که خاک آن‌ها دارای ۳۰٪ رطوبت بوده و پس از آبیاری مجدد، رطوبت آن‌ها در هنگام نمونه‌برداری به ۹۰٪ رسیده بود، نشان داد که فعالیت آنزیم سوپر اکسید دیسموتاز در نمونه موتانت در مقایسه با نمونه موتانتی که در رطوبت ۱۸٪ قرار داشت تغییری نداشته است اما از نمونه موتانت شاهد بیشتر است. در ژنوتیپ والد، آبیاری مجدد باعث افزایش فعالیت آنزیم SOD نسبت به فعالیت این آنزیم در ظرفیت زراعی ۱۸٪ شده بود. فعالیت SOD در ژنوتیپ موتانت در تمام سطوح رطوبتی از ژنوتیپ والد بیشتر بود (شکل ۱). این موضوع نشان می‌دهد

دقیقه است که به صورت واحد بین‌المللی بر گرم وزن تر برگ پرچم گزارش شد.

فعالیت آنزیم GR با روش فویر و هالیول (Foyer and Halliwell, 1976) تعیین می‌شود. در این روش از مخلوط واکنش حاوی بافر ۵۰ میلی‌مolar Tris-HCl، ۵۰ میلی‌مolar گلوتاتیون (GSSG) یک میلی‌مolar و ۱۰ میلی‌مolar NADPH استفاده شد. واکنش با خواندن اسپکتروفوتومتری نمونه‌ها در طول موج ۳۴۰ نانومتر اندازه‌گیری شد. یک واحد از فعالیت آنزیم GR برابر با مقدار آنزیمی است که یک میلی مول GSSG را در یک دقیقه کاهش می‌دهد.

برای اندازه‌گیری فعالیت گلوتاتیون پراکسیداز از روش هاپکینز و تودوب (Hopkins and Tudhope, 1973)، با استفاده از t-butyl hydroperoxide به عنوان یک بستر، پتاسیم (pH=7)، ۲ میلی‌مolar EDTA، ۰/۲۸ میلی‌مolar NADPH، ۰/۱۳ میلی‌مolar GSH، ۰/۱۶ میلی‌مolar GR، ۰/۰۷۳ میلی‌مolar t-butyl hydroperoxide و عصاره آنزیم (۵۰ میلی‌گرم پروتئین) بود. یک واحد فعالیت GSH-Px به عنوان مقدار آنزیمی که باعث اکسیداسیون NADPH (میلی‌مول بر دقیقه گرم پروتئین) می‌شود، تعریف و به صورت واحد بین‌المللی بر گرم وزن تر برگ پرچم گزارش شد.

نمونه‌های والد طبیعی و موتانت در رطوبت ۱۰۰٪ ظرفیت زراعی و ۲۲٪ ظرفیت زراعی برای توالی یابی RNA انتخاب و به صورت والد طبیعی (والد طبیعی شاهد)، والد طبیعی ۲۲٪ (والد طبیعی خشکی)، موتانت ۱۰۰٪ (موتانت شاهد) و موتانت ۲۲٪ (موتانت خشکی) نام‌گذاری گردید. استخراج RibospinTM Plant RNA با استفاده از کیت استخراج RNA (GeneAll Biotechnology Co., Ltd.) کشور کره جنوبی بر اساس دستورالعمل شرکت سازنده انجام شده و جداسازی mRNA نیز از RNA کل با استفاده از کیت آماده‌سازی TruSeq™ Stranded mRNA kit (TruSeq™ Stranded mRNA kit, Illumina, Inc.) کشور امریکا بر اساس دستورالعمل شرکت سازنده انجام شد. سپس توالی یابی mRNA با استفاده از دستگاه NovaSeq 6000 شرکت Illumina انجام شد.

میزان بیان ژن‌ها بر اساس داده‌های حاصل از توالی یابی توسط نرم‌افزارهای HTseq-count، Bowtie2، Tophat2 و Featurecount به دست آمد و پس از نرمال‌سازی آن با محاسبه Log2FC، FPKM بیان ژن‌ها محاسبه گردید.

گیاهان در نمونه‌هایی که خاک آن‌ها دارای ۳۰٪ رطوبت بوده و پس از آبیاری مجدد، رطوبت آن‌ها در هنگام نمونه‌برداری به ۹۰٪ رسیده بود، نشان داد که فعالیت آنزیم کاتالاز در نمونه موتابت در مقایسه با نمونه موتابتی که در رطوبت ۱۸٪ قرار داشت کاهش یافته است اما از نمونه موتابت شاهد بیشتر است. در ژنوتیپ والد، آبیاری مجدد باعث افزایش فعالیت آنزیم CAT نسبت به فعالیت این آنزیم در ظرفیت زراعی ۱۸٪ شده بود. فعالیت CAT در ژنوتیپ موتابت در تمام سطوح رطوبتی از ژنوتیپ والد بیشتر بود اما در نمونه‌ای که آبیاری مجدد شده بود باهم برابر بودند (شکل ۲). این نتایج نشان می‌دهد که ژنوتیپ موتابت با افزایش تنش خشکی فعالیت کاتالازی بیشتری داشته است.

که ژنوتیپ موتابت در شرایط تنش خشکی فعالیت سوپر اکسید دیسموتازی بیشتری داشته است.

بررسی آنزیم کاتالاز نشان داد، در ژنوتیپ والد و موتابت با افزایش میزان تنش خشکی (کاهش میزان رطوبت) فعالیت این آنزیم افزایش می‌یابد. این نتیجه با نتایج تحقیقات به دست آمده توسط سایر محققین مطابقت داشت (Song et al., 2017; Mohammadkhani and Sharifi, 2016) فعالیت کاتالاز در نمونه موتابت شاهد بیشتر از نمونه والد طبیعی شاهد بود و با افزایش تنش خشکی در نمونه‌گیری دوم از گلدان شاهد در رطوبت ۱۸٪ مشخص گردید که فعالیت این آنزیم در هر دو نمونه نسبت به شاهد افزایش یافته و در نمونه موتابت بیشتر از نمونه والد طبیعی بود. بررسی

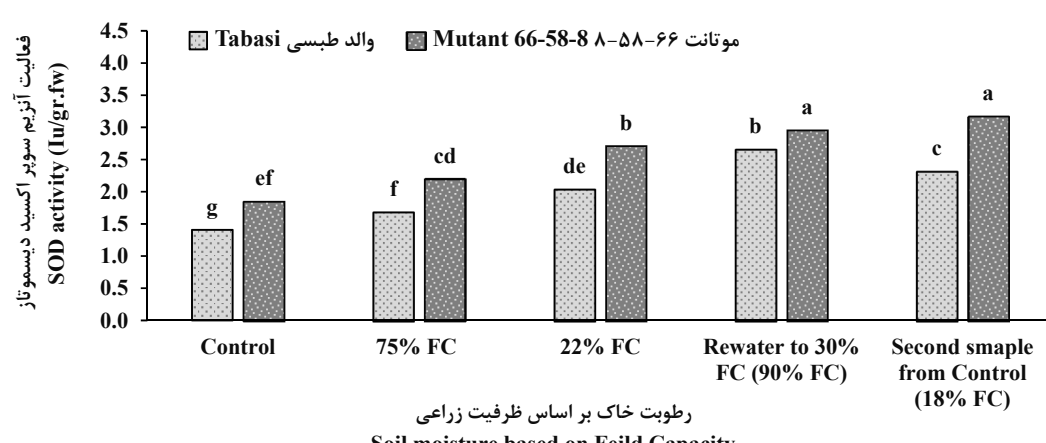
جدول ۲. تجزیه واریانس (میانگین مربعات) تأثیر ژنوتیپ و تنش خشکی بر شاخص‌های بیوشیمیایی سوپر اکسید دیسموتاز (SOD)، کاتالاز (CAT)، گلوتاتیون ردوکتاز (GR) و گلوتاتیون پراکسیداز (GPX) در گندم.

Table 2. Analysis of variance (Mean of square) of the effect of genotype and drought stress on biochemical parameters such as superoxide dismutase (SOD), catalase (CAT), glutathione reductase (GR) and glutathione peroxidase (GPX) in wheat.

Source	منبع تغییر	درجه آزادی				
		Df	SOD	CAT	GR	GPX
Genotype (G)	ژنوتیپ	1	2.32**	1.06**	0.01 ^{ns}	0.31**
Drought Stress (D)	تنش خشکی	4	1.55**	2.14**	0.7**	0.17**
G × D	ژنوتیپ × تنش خشکی	4	0.07**	0.1**	0.11**	0.09**
Error	خطا	18	0.01	0.01	0.01	0.01
C.V. (%)	ضریب تغییرات		24.1	18.6	26.7	25.3

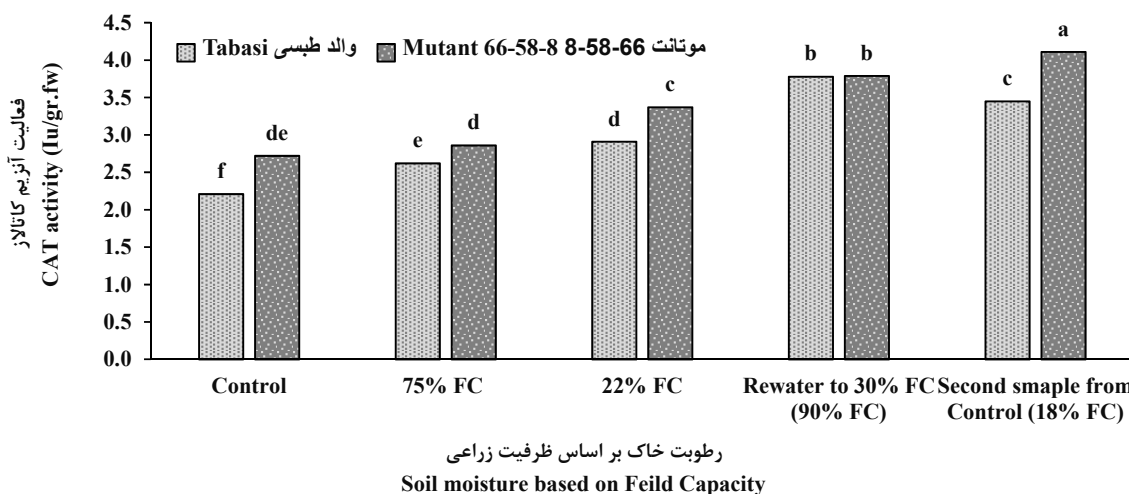
*، ** و ^{ns} به ترتیب معنی‌دار در سطح احتمال ۵ درصد، ۱ درصد و عدم وجود اختلاف معنی‌دار.

*، ** and ns are significant at the 5%, 1% and non-significance levels, respectively.



شکل ۱. روند تغییرات مقدار فعالیت SOD در دو ژنوتیپ گندم والد طبیعی و موتابت T66-58-8. تفاوت حروف کوچک ستون‌ها، نشان‌دهنده وجود اختلاف معنی‌دار در سطح ۱ درصد است.

Fig. 1. The trend of changes in the amount of SOD activity in two Tabasi wheat genotypes, parent and T66-58-8 mutant. The difference between the lower case letters of the columns indicates a significant difference at the level of 1%.



شکل ۲. روند تغییرات مقدار فعالیت CAT در دو ژنوتیپ گندم والد طبیعی و موتانت ۶۶-۵۸-۸. تفاوت حروف کوچک ستون‌ها، نشان‌دهنده وجود اختلاف معنی‌دار در سطح ۱ درصد است.

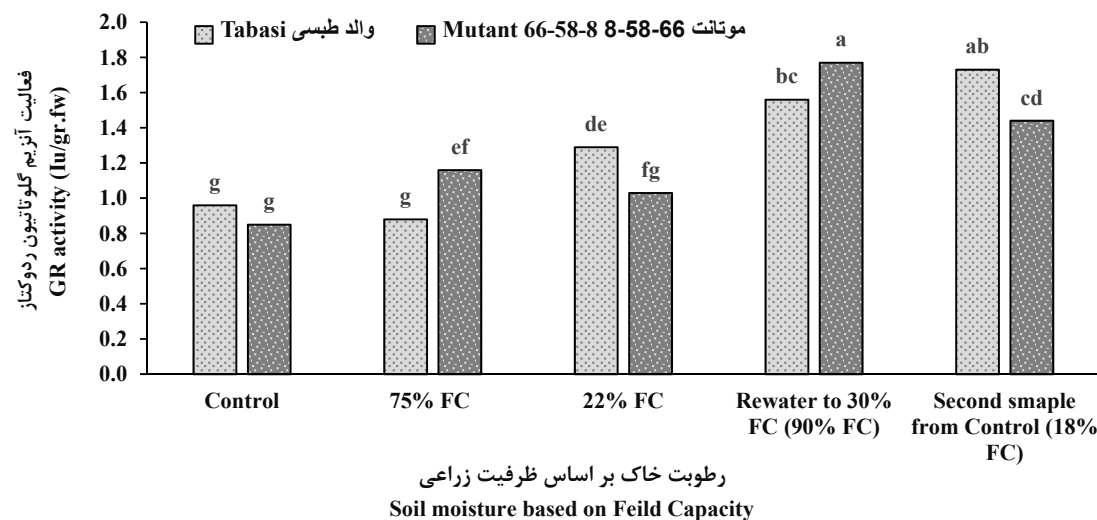
Fig 2. The trend of changes in the amount of CAT activity in two Tabasi wheat genotypes, parent and T66-58-8 mutant. The difference between the lower case letters of the columns indicates a significant difference at the level of 1%.

با شیب ملایمی بوده است اما در ژنوتیپ والد، از رطوبت ۷۵٪ به بعد افزایش صورت پذیرفته است. در بررسی انجام شده مشاهده گردید که فعالیت آنزیم گلوتاتیون پراکسیداز، در ژنوتیپ والد با افزایش میزان تنفس خشکی (کاهش میزان رطوبت) افزایش می‌یابد. فعالیت این آنزیم در نمونه موتانت شاهد با نمونه والد طبیعی شاهد برابر بود و با افزایش تنفس خشکی در نمونه‌گیری دوم از گیاه شاهد در رطوبت ۱۸٪ مشخص گردید که فعالیت این آنزیم در نمونه والد نسبت به شاهد افزایش یافته و در نمونه والد بیشتر از نمونه موتانت بود. بررسی گیاهان در نمونه‌هایی که خاک آن‌ها دارای ۳۰٪ رطوبت بوده و پس از آبیاری مجدد، رطوبت آن‌ها در هنگام نمونه‌برداری به ۹۰٪ رسیده بود، نشان داد که فعالیت آنزیم گلوتاتیون پراکسیداز در نمونه موتانت والد در مقایسه با نمونه موتانت والدی که در رطوبت ۱۸٪ قرار داشت تغییری نداشت‌هایند اما فعالیت آن در نمونه والد از نمونه موتانت بیشتر است. در ژنوتیپ والد و موتانت، آبیاری مجدد باعث کاهش فعالیت آنزیم GPX نسبت به سایر سطوح رطوبتی نشده بود. فعالیت GPX در ژنوتیپ والد در تمام سطوح رطوبتی به جز شاهد و ۲۲٪ از ژنوتیپ موتانت بیشتر بود (شکل ۴).

بررسی فعالیت آنزیم گلوتاتیون پراکسیداز نشان داد که این آنزیم در ژنوتیپ موتانت در شرایط تنفس خشکی فعالیت ثابت داشته است.

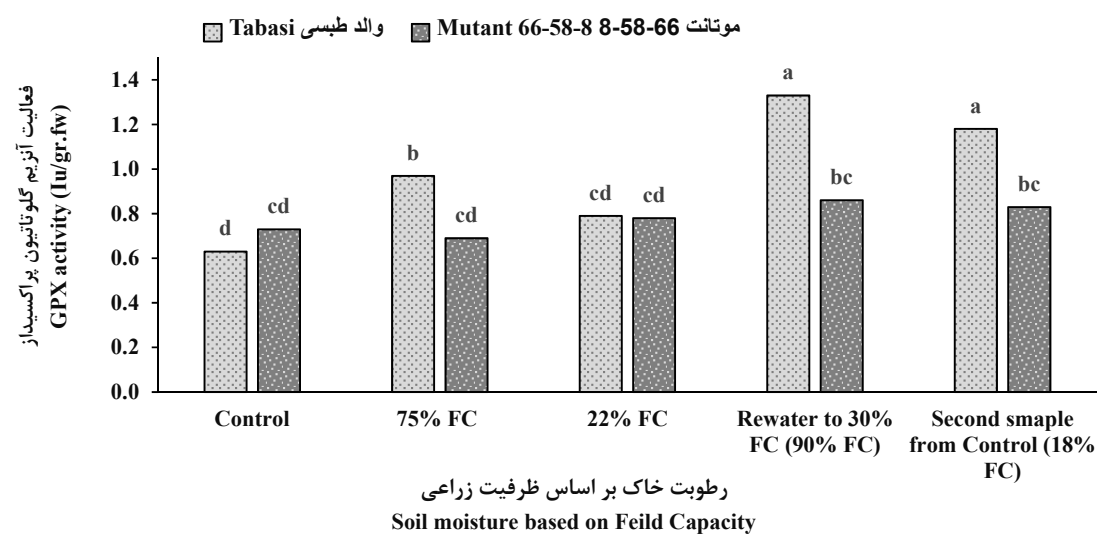
بررسی آنزیم‌های سوپر اکسید دیسموتاز و کاتالاز نشان داد آبیاری مجدد در ژنوتیپ والد طبیعی سبب افزایش فعالیت آنزیم سوپر اکسید دیسموتاز شده است. محصول فعالیت سوپر اکسید دیسموتاز، پر اکسید هیدروژن است. در ژنوتیپ والد فعالیت کاتالاز که پر اکسید هیدروژن را تجزیه می‌نماید، افزایش داشت.

در بررسی آنزیم گلوتاتیون ردوکتاز مشخص گردید، در ژنوتیپ والد و موتانت با افزایش میزان تنفس خشکی (کاهش میزان رطوبت) فعالیت این آنزیم نیز افزایش می‌یابد. فعالیت آنزیم در نمونه موتانت شاهد با نمونه والد طبیعی شاهد برابر بود و با افزایش تنفس خشکی در نمونه‌گیری دوم از گیاه شاهد در رطوبت ۱۸٪ مشخص گردید که فعالیت این آنزیم در هر دو نمونه نسبت به شاهد افزایش یافته و در نمونه والد بیشتر از نمونه موتانت بود. بررسی گیاهان در نمونه‌هایی که خاک آن‌ها دارای ۳۰٪ رطوبت بوده و پس از آبیاری مجدد، رطوبت آن‌ها در هنگام نمونه‌برداری به ۹۰٪ رسیده بود، نشان داد که فعالیت این آنزیم در نمونه موتانت در مقایسه با نمونه موتانتی که در رطوبت ۱۸٪ قرار داشت افزایش یافته است و از نمونه موتانت شاهد نیز بیشتر است. در ژنوتیپ والد، آبیاری مجدد باعث کاهش فعالیت آنزیم GR نسبت به فعالیت این آنزیم در ظرفیت زراعی ۱۸٪ شده بود. فعالیت GR در ژنوتیپ موتانت در تمام سطوح رطوبتی با ژنوتیپ والد اختلاف داشته اما در نمونه شاهد با هم برابر بودند (شکل ۳). تغییرات فعالیت این آنزیم در ژنوتیپ موتانت با کاهش رطوبت تا میزان ۲۲٪/.



شکل ۳. روند تغییرات مقدار فعالیت GR در دو ژنوتیپ گندم والد طبیعی و موتانت T66-58-8. تفاوت حروف کوچک ستون‌ها، نشان‌دهنده وجود اختلاف معنی‌دار در سطح ۱ درصد است.

Fig. 3. The trend of changes in the amount of GR activity in two Tabasi wheat genotypes, parent and T66-58-8 mutant. The difference between the lower case letters of the columns indicates a significant difference at the level of 1%.



شکل ۴. روند تغییرات مقدار فعالیت GPX در دو ژنوتیپ گندم والد طبیعی و موتانت T66-58-8. تفاوت حروف کوچک ستون‌ها، نشان‌دهنده وجود اختلاف معنی‌دار در سطح ۱ درصد است.

Fig. 4. The trend of changes in the amount of GPX activity in two Tabasi wheat genotypes, parent and T66-58-8 mutant. The difference between the lower case letters of the columns indicates a significant difference at the level of 1%.

۱۰۰٪ و ۲۲٪ مورد جستجو قرار گرفت. میزان بیان این ژن‌های مشترک در هر چهار نمونه بر اساس FPKM در شکل ۵ رسم شد. مطالعه این شکل نشان داد که بیان تعداد ۱۰ ژن از این ۲۱ ژن در ژنوتیپ والد طبیعی در ظرفیت زراعی ۱۰۰٪ نسبت به ژنوتیپ والد طبیعی در ظرفیت زراعی ۲۲٪ افزایش یافته و بیان تعداد ۹ ژن نیز کاهش یافته است، یک ژن بیان‌نشده و یک ژن نیز تغییر بیان نداشته است. در بررسی

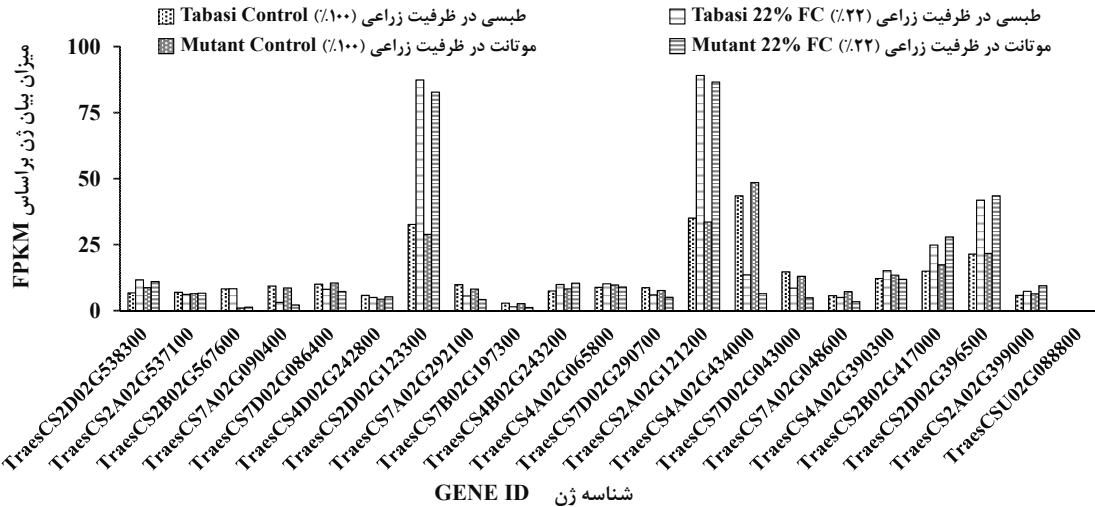
با بررسی در پایگاه داده EnsemblPlants ژن‌هایی که کارکرد آن‌ها با عنوان سوپر اکسید دیسموتاز ثبت شده است شناسایی شدند. تعداد ۲۱ ژن ثبت شده در سایت مذکور در پایگاه داده UniProt و KnetMiner، مورد جستجو قرار گرفته و نام ژن، نام ورودی و نام پروتئین مربوطه استخراج شد (جدول ۳). سپس اسامی این ژن‌ها در داده‌های حاصل از توالی‌یابی برای ژنوتیپ والد طبیعی و موتانت در ظرفیت زراعی

ژن نیز بیان نشده است. از ۶ ژنی که در ژنتیک موتانت در ظرفیت زراعی ۲۲٪ نسبت به موتانت در ظرفیت زراعی ۱۰۰٪ تغییر بیان معنی دار داشتند تعداد ۳ ژن در ژنتیک موتانت نسبت به والد طبیعی ۲۲٪ افزایش بیان معنی دار داشت (جدول ۴). داده های شکل ۲ نشان می دهد فعالیت آنزیم کاتالاز در ژنتیک موتانت در ظرفیت زراعی ۱۰۰٪ و ۲۲٪ بیشتر از ژنتیک والد طبیعی بوده است.

در پایگاه داده EnsemblPlants برای ژن هایی که کارکرد آن ها با عنوان گلوتاتیون پراکسیداز ثبت شده است نیز جستجو انجام گرفت و مشاهده شد که تعداد ۱۶ ژن برای این آنزیم ثبت شده است. با بررسی این ژن ها در پایگاه داده UniProt، نام ژن، نام ورودی و نام پروتئین KnetMiner مربوطه استخراج شد (جدول ۵). سپس اسمی این ژن ها در داده های حاصل از توالی یابی برای ژنوتیپ والد طبیعی و موتانت در ظرفیت زراعی 100% و 22% مورد جستجو قرار گرفت. میزان بیان این ژن های مشترک در هر چهار نمونه بر اساس FPKM در شکل ۷ رسم شد. مطالعه این شکل نشان داد که بیان تعداد ۱۲ ژن از این ۱۶ ژن در ژنوتیپ والد طبیعی در ظرفیت زراعی 22% نسبت به ژنوتیپ والد طبیعی در ظرفیت زراعی 100% افزایش یافته و بیان تعداد ۱ ژن نیز کاهش یافته است، سه ژن نیز تغییر بیان نیافته اند. در بررسی ژنوتیپ موتانت در ظرفیت زراعی 22% نسبت به ژنوتیپ موتانت در ظرفیت زراعی 100% تعداد ۱۳ ژن افزایش بیان یافته و تعداد ۲ ژن نیز کاهش بیان یافته است، یک ژن نیز تغییر بیان نیافته است که از ۱۳ ژن افزایش بیان یافته ۷ ژن داشته اند، سه ژن نیز تغییر بیان نداشته اند. تعداد ۴ ژن در افزایش بیان معنی دار داشته اند (جدول ۵). تعداد ۴ ژن در موتانت در ظرفیت زراعی 100% نسبت به والد طبیعی در ظرفیت زراعی 100% افزایش بیان و ۶ ژن نیز کاهش بیان داشته اند، ۶ ژن نیز تغییر بیان نداشته اند. تفاوت بین ۷ ژنی موتانت در ظرفیت زراعی 22% نسبت به والد طبیعی در ظرفیت زراعی 22% افزایش بیان و ۸ ژن نیز کاهش بیان داشته اند، دو ژن نیز تغییر بیان نداشته اند. تفاوت بین ۷ ژنی که در ژنوتیپ موتانت در ظرفیت زراعی 22% نسبت به موتانت در ظرفیت زراعی 100% تغییر بیان معنی دار داشتند در در ظرفیت زراعی 22% موتانت در ظرفیت زراعی 22% نسبت به والد طبیعی در ژنوتیپ موتانت در ظرفیت زراعی 22% معنی دار نبود (جدول ۴). داده های شکل ۴ نشان می دهد فعالیت آنزیم گلوتاتیون پراکسیداز در ژنوتیپ والد در ظرفیت زراعی 100% و 22% با میزان این آنزیم 5 ژن تبت موتانت برآورده است.

ژنوتیپ موتانت در ظرفیت زراعی ۲۲٪ نسبت به ژنوتیپ موتانت در ظرفیت زراعی ۱۰۰٪ بیان تعداد ۹ ژن افزایش یافته و بیان تعداد ۹ ژن نیز کاهش یافته است، یک ژن بیان نشده و دو ژن نیز تغییر بیان نیافته است که از ۱۸ ژن افزایش و کاهش بیان یافته ۳ ژن افزایش و ۳ ژن کاهش بیان معنی دار داشته‌اند (جدول ۳). تعداد ۸ ژن در موتانت در ظرفیت زراعی ۱۰۰٪ نسبت به والد طبیعی در ظرفیت زراعی ۱۰۰٪ افزایش بیان و ۸ ژن نیز کاهش بیان داشته‌اند. تعداد ۵ ژن در موتانت در ظرفیت زراعی ۲۲٪ نسبت به والد طبیعی در ظرفیت زراعی ۲۲٪ افزایش بیان و ۱۰ ژن نیز کاهش بیان داشته‌اند. تفاوت بیان ۶ ژنی که در ژنوتیپ موتانت در ظرفیت زراعی ۲۲٪ نسبت به موتانت در ظرفیت زراعی ۱۰۰٪ تغییر بیان معنی دار داشتند در ژنوتیپ موتانت در ظرفیت زراعی ۲۲٪ نسبت به والد طبیعی در ظرفیت زراعی ۲۲٪ معنی دار نبود (جدول ۳). داده‌های شکل ۱ نشان می‌دهد فعالیت آنزیم سوپر اکسید دیسموتاز در ژنوتیپ موتانت در ظرفیت زراعی ۱۰۰٪ و ۲۲٪ بیشتر از ژنوتیپ والد طبیعی بوده است.

بررسی در پایگاه داده EnsemblPlants برای ژن‌هایی که کارکرد آن‌ها با عنوان کاتالاز ثبت شده است نشان داد که تعداد ۱۴ ژن برای این آنزیم ثبت شده است. با بررسی این ژن‌ها در پایگاه داده UniProt و KnetMiner، نام ژن، نام ورودی و نام پروتئین مربوطه استخراج شد (جدول ۴). اسامی این ژن‌ها نیز در داده‌های حاصل از توالی‌بایی برای ژنوتیپ والد طبیعی و موتانت در ظرفیت زراعی ۱۰۰٪ و ۲۲٪ مورد جستجو قرار گرفت. میزان بیان این ژن‌های مشترک در هر چهار نمونه بر اساس FPKM در شکل ۶ رسم شد. مطالعه این شکل نشان داد که بیان تعداد ۱۰ ژن از این ۱۴ ژن در ژنوتیپ والد طبیعی در ظرفیت زراعی ۲۲٪ نسبت به ژنوتیپ والد طبیعی در ظرفیت زراعی ۱۰۰٪ افزایش یافته و تعداد ۴ ژن نیز بیان نشده است. در بررسی ژنوتیپ موتانت در ظرفیت زراعی ۲۲٪ نسبت به ژنوتیپ موتانت در ظرفیت زراعی ۱۰۰٪ تعداد ۱۱ ژن افزایش بیان یافته و تعداد ۳ ژن نیز بیان نشده است که از میان ۱۱ ژن افزایش بیان یافته تعداد ۶ ژن افزایش بیان معنی‌دار داشته‌اند (جدول ۴). تعداد ۱ ژن در موتانت در ظرفیت زراعی ۱۰۰٪ نسبت به والد طبیعی در ظرفیت زراعی ۱۰۰٪ افزایش بیان و ۵ ژن نیز کاهش بیان داشته‌اند، دو ژن تغییر بیان نداشته و ۶ ژن نیز بیان نشده‌اند. تعداد ۷ ژن در موتانت در ظرفیت زراعی ۲۲٪ نسبت به والد در ظرفیت زراعی ۲۲٪ افزایش بیان و ۴ ژن نیز کاهش بیان داشته‌اند، تعداد ۳

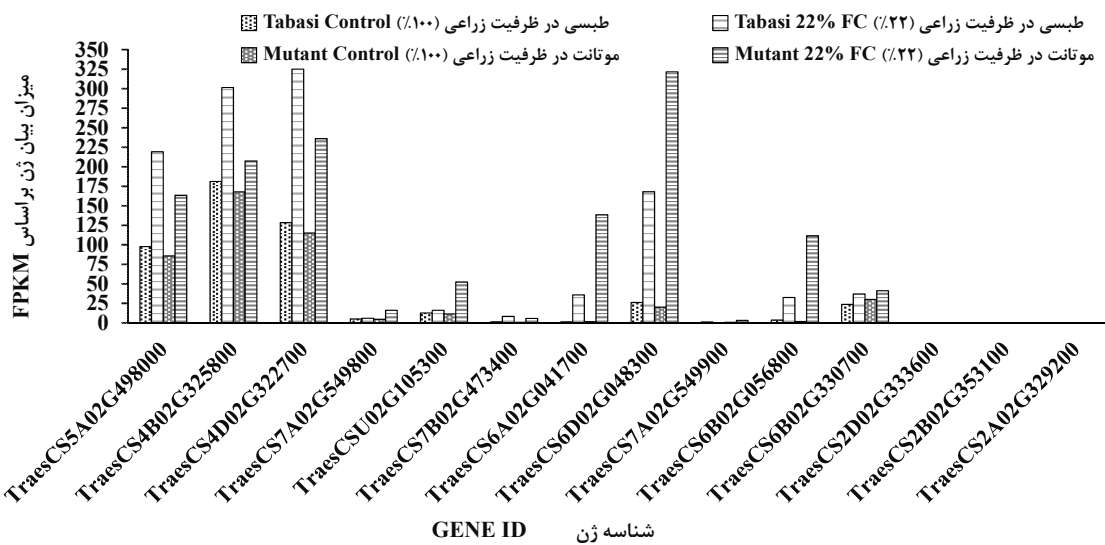


شکل ۵. میزان بیان ژن‌های مرتبط با SOD بر اساس اطلاعات پایگاه داده UniProt و EnsemblPlants بر حسب Fig. 5. Expression of SOD-related genes based on EnsemblPlants and UniProt database data in FPKM.

جدول ۳. ژن‌ها و پروتئین‌های مرتبط با Superoxide Dismutase در گیاه گندم (*Triticum aestivum*) بر اساس اطلاعات پایگاه داده UniProt و EnsemblPlants

Table 3. Genes and proteins related with Superoxide Dismutase in wheat (*Triticum aestivum*) based on EnsemblPlants and UniProt databases.

	بیان ژن‌های مرتبط با SOD					
	Log2FC M22%-M100%	Log2FC M22%-T22%	شناسه ژن (ID) EnsemblPlants	نام ژن KnetMiner	نام ورودی UniProt	نام پروتئین UniProt
1	-	-	TraesCS2D02G538300	MSD1	Q96185	Superoxide dismutase
2	-	-	TraesCS2A02G537100	MSD1	P93606	Superoxide dismutase
3	-	-	TraesCS2B02G567600	MSD1	A0A3B6CFS9	Superoxide dismutase
4	-1.62**	ns	TraesCS7A02G090400	FSD3	A0A3B6RCP4	Superoxide dismutase
5	-	-	TraesCS7D02G086400	FSD3	A0A3B6T976	Superoxide dismutase
6	-	-	TraesCS4D02G242800	CSD3	A0A3B6JL04	Superoxide dismutase
7	1.49**	ns	TraesCS2D02G123300	CSD1	H9NAV6	Superoxide dismutase[Cu-Zn]
8	-	-	TraesCS7B02G292100	CSD2	A0A3B6RFK1	Superoxide dismutase[Cu-Zn]
9	-	-	TraesCS7B02G197300	CSD2	Q96123	Superoxide dismutase[Cu-Zn]
10	-	-	TraesCS4B02G243200	CSD3	A0A0G2YAJ8	Superoxide dismutase[Cu-Zn]
11	-	-	TraesCS4A02G065800	CSD3	A0A3B6IVD1	Superoxide dismutase
12	-	-	TraesCS7D02G290700	CSD2	A0A3B6HPG6	Superoxide dismutase
13	1.34*	ns	TraesCS2A02G121200	CSD1	A0A3B6HT65	Superoxide dismutase[Cu-Zn]
14	-2.74**	ns	TraesCS4A02G434000	FSD2	A0A3B6TK25	Superoxide dismutase[Cu-Zn]
15	-1.25*	ns	TraesCS7D02G043000	FSD2	O24400	Superoxide dismutase[Cu-Zn]
16	-	-	TraesCS7A02G048600	FSD2	A0A3B6R832	Superoxide dismutase
17	-	-	TraesCS4A02G390300	FSD3	A0A3B6I0A1	Superoxide dismutase
18	-	-	TraesCS2B02G417000	CCS	A0A3B6CAQ5	HMA domain-containing protein
19	0.97*	ns	TraesCS2D02G396500	CCS	A0A1D6DFT2	Genome assembly, chromosome: II
20	-	-	TraesCS2A02G399000	CCS	A0A3B6DHS2	HMA domain-containing protein
21	-	-	TraesCSU02G088800	GER4	A0A3B6UAQ9	Germin-like protein

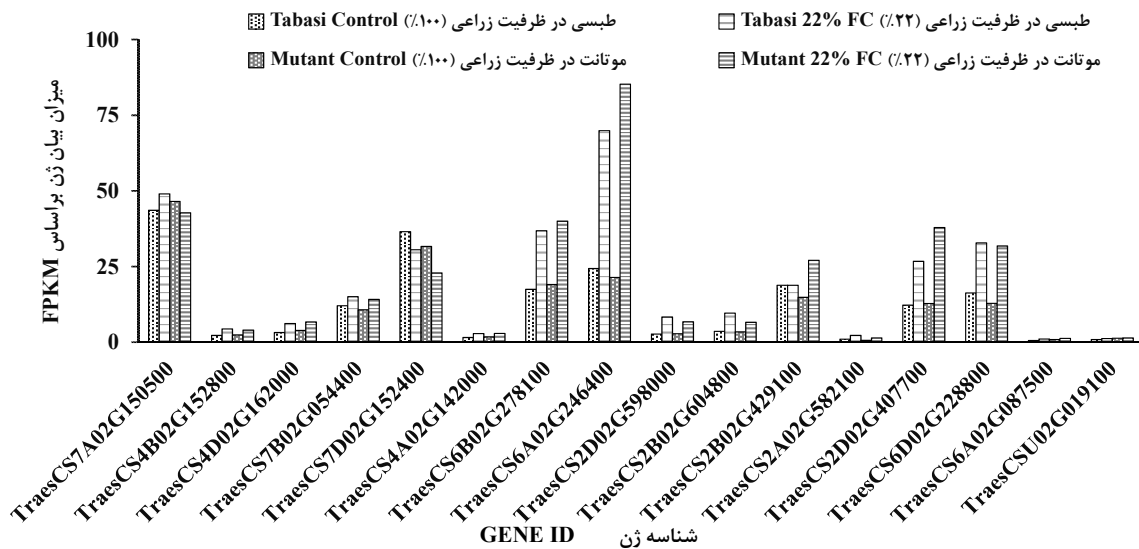


شکل ۶. میزان بیان ژن‌های مرتبط با CAT بر اساس اطلاعات پایگاه داده UniProt و EnsemblPlants برحسب FPKM.
Fig. 6. Expression of CAT-related genes based on EnsemblPlants and UniProt database data in FPKM.

جدول ۴. ژن‌ها و پروتئین‌های مرتبط با Catalase در گندم (*Triticum aestivum*) براساس اطلاعات پایگاه داده EnsemblPlants و UniProt

Table 4. Genes and proteins related with Catalase in wheat (*Triticum aestivum*) based on EnsemblPlants and UniProt databases.

ردیف	بیان ژن‌های مرتبط با CAT					
	Log2FC M22%- M100%	Log2FC M22%- T22%	شناسه ژن EnsemblPlants	نام ژن KnetMiner	نام ورودی UniProt	نام پروتئین UniProt
1	0.92*	ns	TraesCS5A02G498000	CAT1	A0A3B6KQP3	Catalase
2	-	-	TraesCS4B02G325800	CAT1	A0A3B6IUU1	Catalase
3	1*	ns	TraesCS4D02G322700	CAT1	A0A3B6JMX0	Catalase
4	-	-	TraesCS7A02G549800	CAT1	A0A3B6JQL2	Catalase
5	2.1**	1.6**	TraesCSU02G105300	CAT1	A0A0H4LXI0	Catalase
6	-	-	TraesCS7B02G473400	CAT1	A0A3B6RQ09	Catalase
7	5.76**	1.9**	TraesCS6A02G041700	CAT2	A0A3B6U183	Catalase
8	3.92**	ns	TraesCS6D02G048300	CAT2	A0A3B6SLN2	Catalase
					A0A3B6NJS8	Catalase
					A0A3B6NKD6	Catalase
					A0A3B6Q9M2	Catalase
					A0A3B6QCB0	Catalase
					F1DKC1	Catalase
9	-	-	TraesCS7A02G549900	CAT1	A0A3B6RP85	Catalase domain-containing protein
10	5.36**	1.7**	TraesCS6B02G056800	CAT2	A0A3B6PE57	Catalase
					A0A3B6PHD6	Catalase
11	-	-	TraesCS6B02G330700	PLAT1	A0A3B6PQ78	Uncharacterized protein
12	-	-	TraesCS2D02G333600	4CLL9	A0A1D5UJH8	Genome assembly, chromosome: II
13	-	-	TraesCS2B02G353100	4CLL9	A0A3B6CAX6	Uncharacterized protein
14	-	-	TraesCS2A02G329200	4CLL9	A0A3B6AZU8	Uncharacterized protein



شکل ۷. میزان بیان ژن‌های مرتبط با GPX بر اساس اطلاعات پایگاه داده UniProt و EnsemblPlants بر حسب FPKM.

Fig. 7. Expression of GPX-related genes based on EnsemblPlants and UniProt database data in FPKM.

جدول ۵. ژن‌ها و پروتئین‌های مرتبط با Glutathione Peroxidase (*Triticum aestivum*) در گیاه گندم (جیوه گندم) بر اساس اطلاعات پایگاه داده UniProt و EnsemblPlants.

Table 5. Genes and proteins related with Glutathione Peroxidase in wheat (*Triticum aestivum*) based on EnsemblPlants and UniProt databases.

ردیف	بیان ژن‌های مرتبط با GPX					
	Log2FC M22%- M100%	Log2FC M22%- T22%	(ID) EnsemblPlants	شناسه ژن KnetMiner	نام ژن UniProt	نام پروتئین UniProt
1	-	-	TraesCS7A02G150500	GPX1	A0A3B6REL4 A0A3B6REQ8	Glutathione peroxidase Glutathione peroxidase
2	-	-	TraesCS4B02G152800	GPX4	A0A3B6IRX8	Glutathione peroxidase
3	-	-	TraesCS4D02G162000	GPX4	T1WSS4	Glutathione peroxidase
4	-	-	TraesCS7B02G054400	GPX1	A0A3B6SEF4	Glutathione peroxidase
5	-	-	TraesCS7D02G152400	GPX1	A0A3B6TM94	Glutathione peroxidase
6	-	-	TraesCS4A02G142000	GPX4	A0A3B6HVA3	Glutathione peroxidase
7	1*	ns	TraesCS6B02G278100	CSA	A0A3B6PLT1	Glutathione peroxidase
8	1.94**	ns	TraesCS6A02G246400	CSA	A0A3B6NSG2	Glutathione peroxidase
9	1*	ns	TraesCS2D02G598000	CSA	A0A3B6DQ00	Glutathione peroxidase
10	0.79*	ns	TraesCS2B02G604800	CSA	A0A3B6CH04	Glutathione peroxidase
11	0.82*	ns	TraesCS2B02G429100	CSA	A0A3B6CB61	Glutathione peroxidase
12	-	-	TraesCS2A02G582100	CSA	T1WT84	Glutathione peroxidase
13	1.49**	ns	TraesCS2D02G407700	CSA	A0A1D5UGB6	Glutathione peroxidase
14	1.24*	ns	TraesCS6D02G228800	CSA	A0A3B6QI62	Glutathione peroxidase
15	-	-	TraesCS6A02G087500	-	A0A3B6NJG4	Uncharacterized protein
16	-	-	TraesCSU02G019100	-	A0A3B6U390	Uncharacterized protein

مطالعات لو و همکاران (Lou et al., 2018) در مقایسه آنزیم‌های GR و GPX در گیاه گندم و در برگ پرچم در مقایسه با سنبله نیز نشان داده که میزان این دو آنزیم در شرایط تنش افزایش می‌یابد. هرچند افزایش آنزیم‌های SOD

مطالعات سونگ و همکاران (Song et al., 2017) نشان داد که فعالیت آنتیاکسیدان‌های SOD و CAT در دو رقم گندم هگزاپلوفیلید مورد آزمایش در شرایط تنش رطوبتی نسبت به آبیاری خوب، افزایش یافته است. در عین حال

2017). مطالعات قبلی گزارش داده‌اند که ژن‌های SOD ممکن است دو الگوی بیان متفاوت را نشان دهند، یعنی بیان Feng et al., 2016; Zhou et al., 2017) ترکیبی و بیان خاص بافت (Cu/ZnSOD). در گیاهان، اغلب در سیتوپلاسم، پراکسیزومها، کلروپلاست‌ها و یا فضای خارج سلولی مشاهده شود، علاوه بر این، FeSOD ها بیشتر در سیتوپلاسم و کلروپلاست‌ها قرار دارند در حالی که MnSOD ها در ماتریکس Kliebenstein et al., 1998;) میتوکندری قرار دارند (Corpas et al., 2006; Pilon et al., 2011). این ژن‌ها به ترتیب با نام‌های CSD و FSD و MSD گزارش می‌شوند. سونگ و همکاران (Song et al., 2018) بیان نمودند ژن‌های MtSOD در شرایط مختلف تنش‌های غیرزنده مانند خشکی بیان افتراقی داشته و در مقایسه ژن‌های MtCSD3 و MtFSD2 در بافت‌های مختلف مشاهده نمودند که این ژن‌ها در برگ‌ها بیان بیشتری داشته‌اند، این نشان می‌دهد که آنزیم SOD یک آنزیم حیاتی در پاکسازی ROS‌های تولیدی در فتوسنتر گیاهی است (Zhang et al., 2017; Chu et al., 2017; Wang et al., 2016). چو و همکاران (Chu et al., 2005) فعالیت ژن CCS را در آربیدوپسیس کدکننده پروتئین چاپرون مس که برای فعالیت آنزیم Cu/ZnSOD در برابر نمودند. چاپرون‌ها پروتئین‌هایی هستند ضروری است، گزارش نمودند. چاپرون‌ها پروتئین‌هایی هستند که در تاشدگی (Folding) سایر پروتئین‌ها شرکت می‌کنند. پیلون و همکاران (Pilon et al., 2011) در بررسی فعالیت آنزیم‌های FeSOD و Cu/ZnSOD اظهار داشتند که وجود مس می‌تواند بیان CCS را نسبت به FeSOD بیشتر نموده و عدم وجود مس باعث بیان بیشتر ژن FSD1 گردد. در غلاظت‌های بالای مس و سایر تنش‌های زیستی یا غیر زیستی، بیان FSD1 با عدم اتصال پروتئین SPL7 متصل شونده به پروموتور، سرکوب می‌شود و فراوانی CCS، SPL7 با عدم اتصال miRNA398 و عدم رونویسی این miRNA398 می‌یابد. در تحقیق انجام شده روی دو ژنوتیپ گندم موتانت FSD3 و والد طبیعی مشاهده شد که دو ژن FSD2 و یک ژن FSD3 در ژنوتیپ موتانت در شرایط تنش خشکی با ۲۲٪ رطوبت در نقطه ظرفیت زراعی نسبت به ژنوتیپ موتانت در شرایط بدون تنش خشکی، کاهش بیان معنی‌دار داشته‌اند در حالی که دو ژن CSD1 و یک ژن CCS به شکل معنی‌داری افزایش بیان یافته‌اند. با توجه به افزایش بیان ژن CCS در این تحقیق، این ژن در گیاه گندم نیز می‌تواند در جهت تاشدگی

GPX و GR به صورت خطی نبود اما اطلاعات این دو تحقیق به همراه تحقیقات انجام شده توسط نواب پور و همکاران (Navabpour et al., 2020) نشان‌دهنده ارتباط افزایش این آنزیم‌ها با تنش خشکی در گندم است. در این تحقیق نیز افزایش این آنزیم‌ها در شرایط تنش خشکی مشاهده شد. فورد و همکاران (Ford et al., 2011) در بررسی ۳ رقم گندم تحت شرایط تنش خشکی، افزایش آنزیم‌های SOD و CAT را در هر سه رقم برای اجتناب از گونه‌های فعال اکسیژن (ROS) اعلام نمودند. میری حصار و همکاران (Miri-Hesar et al., 2019) افزایش آنزیم SOD را در گندم، یکی از معیارهای شناسایی ژنوتیپ‌های متحمل به خشکی بیان نمودند. بررسی تغییرات آنزیم سوپر اکسید دیسموتاز مشخص کرد که مقدار این آنزیم در ژنوتیپ والد طبیعی و موتانت تا آخرین سطح تنش افزایشی بوده است. آنزیم کاتالاز در ژنوتیپ موتانت در هنگام تنش متوسط خشکی واکنش افزایشی نداشته اما با شدت یافتن تنش میزان آن افزایش یافته است. تغییرات گلوتاتیون ردوکتاز در شرایط تنش رطوبتی در دو ژنوتیپ افزایشی بوده اما آهنگ آن در دو ژنوتیپ متفاوت است، بهنحوی که در ژنوتیپ موتانت در اوایل تنش ثابت بوده و از تنش خشکی شدید، میزان آن افزایش می‌یابد. مقادیر GPX در شدت بسیار بالای تنش زیاد بوده اما در مقادیر تنش متوسط و شدید ژنوتیپ موتانت تغییرات معنی‌داری ندارد. فعالیت آنزیم‌های بررسی شده در طول روند تنش خشکی اعمال شده نشان می‌دهد که ژنوتیپ موتانت به عنوان ژنوتیپ مقاوم به خشکی، فعالیت کاتالازی و سوپر اکسید دیسموتازی بیشتری نسبت به ژنوتیپ والد طبیعی دارد. این نتایج با نتایج تحقیقات سایر محققان مطابقت داشت. (Malek et al., 2019; Mohammadkhani and Sharifi, 2016)؛ اما در خصوص فعالیت آنزیم‌های گلوتاتیون ردوکتاز و گلوتاتیون پراکسیداز، ژنوتیپ والد طبیعی در تنش‌های بالاتر خشکی، دارای مقدار بیشتری بوده است. درخت فیلوزن‌تیک تولیدشده در میان ۷۴ پروتئین SOD از گیاه یونجه (*Medicago truncatula*) و ۸ گونه گیاهی دیگر نشان داد که این پروتئین‌های SOD به سه دسته اصلی به نام‌های Fe-MnSODs و Cu/ZnSODs تقسیم می‌شوند. در بین Fe-MnSODs، Fe-MnSOD و Fe-SOD گیاهان در گروه‌بندی در کنار هم قرار گرفتند که نشان می‌دهد ممکن است از ژن‌های اجدادی مشترک منشأ گرفته باشند (Miller, 2012; Wang et al., 2017; Zhou et al., 2017).

CAT2 نیز در موتانت خشکی نسبت به والد طبیعی خشکی افزایش بیان داشتند. تعداد ۷ ژن *CSA* در ژنوتیپ موتانت در شرایط تنش خشکی نسبت به شاهد، بیان معنی‌داری یافته است. این ژن با پروتئینی به نام PHGPx که احتمالاً فسفولیپید هیدروپراکسید گلوتاتیون پراکسیداز (PHGPx) در گیاهان تحت شرایط تنش غیرزیستی و زیستی که واسطه استرس اکسیداتیو است، بیش از حد بیان می‌شود (Faltin et al., 2010). جین و باتلا (Jain and Bhatla, 2014) نیز ارتباط تنش شوری با PHGPx را بررسی و گزارش نمودند که در آفتابگردان NaCl با PHGPx ارتباط داشته و سبب پاکسازی آن در لپه‌ها می‌شود. ما و همکاران (Ma et al., 2017) بیان داشتند که برای آنژیم‌های سوپر اکسید دیسموتاز، کاتالاز و گلوتاتیون پراکسیداز، مهارکننده و فعال‌کننده‌هایی وجود دارد که می‌توانند روی فعالیت این آنژیم‌ها تأثیرگذار باشند. پراکسید، NaN₃, KCN, Chloroform-Ethanol, H₂O₂ و یون‌های فلزی، کربوهیدرات‌ها، پلی‌اتیلن گلیکول روی فعالیت سوپر اکسید دیسموتاز تأثیر می‌گذارند. سدیم آزید (NaN₃), آمین، پتاسیم سیانید و اسید سالسیلیک روی فعالیت کاتالاز تأثیرگذار هستند. طلا، ویتامین E و سلنیوم نیز روی فعالیت گلوتاتیون پراکسیداز اثرگذار می‌باشند.

نتیجه‌گیری نهایی

مطالعه انجام شده در این تحقیق روی ژنوتیپ والد طبیعی و موتانت آن با نام T65-58-8 نشان می‌دهد که فعالیت آنژیم‌های سوپر اکسید دیسموتاز، کاتالاز و گلوتاتیون پراکسیداز در هر دو ژنوتیپ تحت شرایط تنش خشکی افزایش یافته است. در عین حال مقایسه بیان ژن‌های شناخته‌شده مرتبط با این سه آنژیم در ژنوتیپ موتانت در شرایط تنش خشکی و بدون تنش خشکی نشان می‌دهد که تنها برخی از این ژن‌های شناخته‌شده تغییر بیان یافته‌اند. لذا می‌توان بیان نمود این ژن‌ها که مربوط به سوپر اکسید دیسموتاز، کاتالاز و گلوتاتیون پراکسیداز هستند، در برگ پرچم و در زمان گلدهی بیان می‌شوند. یک ژن *FSD3* دو ژن *CSD1* و *FSD2* دو ژن *CCS* در ژنوتیپ موتانت خشکی نسبت به موتانت شاهد تغییر بیان معنی‌دار داشتند. این موضوع می‌توانست به عنوان تائید کننده افزایش فعالیت

پروتئین‌های تولیدی توسط ژن *CSD1* در نظر گرفته شود. لذا به نظر می‌رسد آنزیم SOD با کوفاکتور مس/روی، در تحمل تنش خشکی دارای نقش بیشتری باشد. توالی ژن *FSD1* در گیاه گندم در سایت EnsemblPlants موجود نیست. لونا و همکاران (Luna et al., 2005) اعلام داشتند که در تنش خشکی در گیاه گندم، کاهش رطوبت خاک و جذب CO₂ با انباست *H₂O₂* همبستگی دارد. محتوی *H₂O₂* برگ افزایش یافت و این در عین حالی بود که فعالیت CAT در شرایط تنش خشکی شدید دو برابر شده بود. افتخاری و همکاران (Eftekhari et al., 2017) در بررسی بیان ژن *DREB2* و *CAT1* در گیاهان است اظهار داشتند که میزان بیان هر دو ژن در شرایط تنش خشکی در گیاه گندم افزایش یافت و بیان *Li et al., 2020* دو برابر *CAT1* بود. لی و همکاران (2020) در بررسی ژن مربوط به پروتئین فاکتور ترجمه پاسخ‌ها به تنش‌های غیرزیستی در گندم مشارکت نموده و در هسته سلول قرار دارد مشاهده نمودند که بیان زیاد این ژن باعث کاهش تحمل به خشکی در آرابیدوپسیس می‌گردد و ژن‌های *DREB2A*, *RD29B*, *CAT1*, *RD29A*, *P5CS1*, *SOD* و *POD1*, *ERF1*, *CBF3*, *CBF2*, *CBF1*, *ABF3* (*Cu/Zn*) که با تنش و سیستم آنتی‌اکسیدانی ارتباط دارند را در گیاه آرابیدوپسیس ترانسژنیک در شرایط تنش خشکی به صورت منفی تنظیم می‌کند. با خاموش کردن این ژن در گیاه گندم، محتوی نسبی آب، میزان پرولین و بیان ژن‌های مربوط به تنش و سیستم آنتی‌اکسیدانی مانند *DREB1*, *SOD*, *POD*, *P5CS*, *ABF*, *ERF4b*, *ERF3*, *DREB3* (*Md*) و *CAT* (*Fe*) افزایش یافت. ام دی روهمان و همکاران (Rohman et al., 2020) در بررسی پاسخ کاتالاز در شرایط خشکی در گیاه جو بیان داشتند که ژن *CAT2* و *CAT4* در پاکسازی *H₂O₂* برگ جو داشتند. نقش مهمی در پاکسازی *H₂O₂* برگ در گیاه گندم می‌گیرد، هنگامی که گیاه در معرض تنش شدید خشکی قرار می‌گیرد، نقش مهمی ایفا می‌کند (Sofo et al., 2015). مطالعه انجام شده روی ژنوتیپ موتانت و والد طبیعی آن نشان داد که از ۶ ژن افزایش بیان یافته در ژنوتیپ موتانت در شرایط تنش خشکی نسبت به شاهد، تعداد ۳ ژن مربوط به *CAT1* و تعداد ۳ ژن مربوط به *CAT2* است و ژن‌های *CAT2* دارای بیان بسیار بیشتری بوده‌اند. در عین حال یک ژن *CAT1* و دو ژن

را نسبت به ژنوتیپ والد طبیعی خشکی نشان دادند. این ژن‌ها می‌توانند به عنوان ژن‌های دخیل در تحمل بیشتر ژنوتیپ موتانت نسبت به ژنوتیپ والد طبیعی به تنش خشکی معرفی گردند. ۷ ژن با عنوان *CSA* در ژنوتیپ موتانت خشکی نسبت به موتانت شاهد تغییر بیان معنی‌دار داشت اما این ژن‌ها در ژنوتیپ موتانت خشکی نسبت به والد طبیعی خشکی تفاوت بیان معنی‌دار نداشت. مقایسه آنزیم گلوتاتیون ردوکتاز در ژنوتیپ موتانت و والد خشکی نشان داد که فعالیت این آنزیم در دو ژنوتیپ تفاوت معنی‌دار نداشت.

آنژیم سوپر اکسید دیسموتاز در ژنوتیپ موتانت خشکی تلقی گردد اما تفاوت بیان این ۶ ژن در ژنوتیپ موتانت خشکی نسبت به طبیعی خشکی معنی‌دار نبود. این موضوع نشان می‌دهد عوامل دیگری در ژنوتیپ موتانت خشکی سبب افزایش فعالیت آنزیم سوپر اکسید دیسموتاز شده است و یا عواملی تولید این آنزیم را در ژنوتیپ والد طبیعی خشکی محدود کرده است. از ۶ ژن تغییر بیان یافته در ژنوتیپ موتانت خشکی نسبت به موتانت شاهد، یک ژن با عنوان *CAT1* و دو ژن با عنوان *CAT2* در ژنوتیپ موتانت خشکی بیان بیشتری

منابع

- Aebi, H., 1984. Catalase in vitro. Methods in Enzymology. 105, 121–126.
- Alimohamadi, R., 2002. Water crisis and the ways to cope with it in Iranian agriculture. Agricultural Aridity and Drought Journal. 6, 58-66. [In Persian with English summary].
- Asada, K., 2006. Production and scavenging of reactive oxygen species in chloroplasts and their functions. Plant Physiology. 141(2), 391–396.
- Basu, S., Ramegowda, V., Kumar, A., Pereira, A., 2016. Plant adaptation to drought stress. F1000 Research. 5, 1554.
- Berkman, P.J., Lai, K., Lorenc, M.T., Edwards, D., 2012. Next generation sequencing applications for wheat crop improvement. American Journal of Botany. 99(2), 365–371.
- Bhabak, K.P., Mugesh, G., 2010. Functional mimics of glutathione peroxidase: bioinspired synthetic antioxidants. Accounts of Chemical Research. 43, 1408–1419.
- Bilski, J., 2001. Soil water status: content and potential. Campbell Scientific. Inc. App. Note: 2S-I.
- Boon, E.M., Downs, A., Marcey, D., 2007. Proposed mechanism of catalase in catalase: H_2O_2 : H_2O_2 Oxidoreductase. Catalase Structural Tutorial Text.
- Bowler, C., Camp, W.V., Montagu, M.V., Inzé, D., Professor Kozi Asada., 1994. Superoxide Dismutase in Plants. Critical Reviews in Plant Sciences. 13, 199-218. <https://doi.org/10.1080/07352689409701914>
- Chaves, M.M., Maroco, J.P., Pereira, J.S., 2003. Understanding plant responses to drought- From genes to the whole plant. Functional Plant Biology. 30, 239–264.
- Chelikani, P., Fita, I., Loewen, P.C., 2004. Diversity of structures and properties among catalases. Cellular and Molecular Life Sciences. 61, 192–208.
- Chen, W., Guo, C., Hussain, S., Zhu, B., Deng, F., Xue, Y., et al., 2016. Role of xylo-oligosaccharides in protection against salinity-induced adversities in Chinese cabbage. Environmental Science Pollution Research. 23, 1254–1264. <https://doi.org/10.1007/s11356-015-5361-2>
- Chu, C.C., Lee, W.C., Guo, W.Y., Pan, S.M., Chen, L.J., Li, H.M., Jinn, T.L., 2005. A copper chaperone for superoxide dismutase that confers three types of copper/zinc superoxide dismutase activity in *Arabidopsis*. Plant physiology. 139, 425–436. <https://doi.org/10.1104/pp.105.065284>
- Chu, Y., Corey, D.R., 2012. RNA sequencing: platform selection, experimental design and data interpretation. Nucleic Acid Therapeutics. 22, 271–274
- Clark, D., 2005. Molecular Biology. Elsevier Academic Press. 784.
- Corpas, F.J., Fernandez-Ocana, A., Carreras, A., Valderrama, R., Luque, F., Esteban, F.J., Rodríguez-Serrano, M., Chaki, M., Pedrajas, J.R., Sandalio, L.M., del Río, L.A., Barroso, J.B., 2006. The expression of different superoxide dismutase forms is cell-type dependent in olive (*Olea europaea* L.) leaves. Plant Cell Physiology. 47, 984-994.
- Couto, N., Malys, N., Gaskell, S.J., Barber, J., 2013. Partition and turnover of glutathione reductase from *Saccharomyces cerevisiae*: a

- proteomic approach. *Journal of Proteome Research.* 12, 2885–2894.
- Edwards, D., Batley, J., Snowdon, R.J., 2013. Accessing complex crop genomes with next-generation sequencing. *Theoretical Applied Genetics.* 126, 1–11.
- Eftekhari, A., Baghizadeh, A., Yaghoobi, M.M., Abdolshahi, R., 2017. Differences in the drought stress response of DREB2 and CAT1 genes and evaluation of related physiological parameters in some bread wheat cultivars. *Biotechnology and Biotechnological Equipment.* 31, 709–716.
- Faltin, Z., Holland, D., Velcheva, M., Tsapovetsky, M., Roeckel-Drevet, P., Handa, A.K., Abu-Abied, M., Friedman-Einat, M., Eshdat, Y., Perl, A., 2010. Glutathione peroxidase regulation of reactive oxygen species level is crucial for in vitro plant differentiation. *Plant and Cell Physiology.* 51:7, 1151–1162.
- FAO. Food and Agriculture Organization. 2018. Retrieved 2021, from <http://faostat.fao.org>.
- Farooq, M., Wahid, A., Kobayashi, N., Fujita, D., Basra, S.M.A., 2009. Plant drought stress: effects, mechanisms and management. *Agronomy for Sustainable Development.* 29, 185–212. <https://doi.org/10.1051/agro:2008021>
- Feng, K., Yu, J., Cheng, Y., Ruan, M., Wang, R., Ye, Q., Zhou, G., Li, Z., Yao, Z., Yang, Y., Zheng, Q., Wan, H., 2016. The SOD gene family in tomato: identification, phylogenetic relationships, and expression patterns. *Front Plant Science.* 7, 1279.
- Flexas, J., Niinemets, U., Galle, A., Barbour, M.M., Centritto, M., 2013. Diffusional conductances to CO as a target for increasing photosynthesis and photosynthetic water-use efficiency. *Photosynthesis Research.* 117, 1–3.
- Ford, K., Cassin, A., Bacic, A., 2011. Quantitative proteomic analysis of wheat cultivars with differing drought stress tolerance. *Frontiers in Plant Science.* 2, 44.
- Foley, J.A., Ramankutty, N., Brauman, K.A., Cassidy, E.S., Gerber, J.S., 2011. Solutions for a cultivated planet. *Nature.* 478, 337–342.
- Foyer, C.H., Halliwell, B., 1976. The presence of glutathione and glutathione reductase in chloroplasts: a proposed role in ascorbic acid metabolism. *Planta.* 133, 21–25.
- Gayathri, D., Rashmi, B.S., 2016. Critical analysis of wheat as food. *Matern Pediatr Nutr.* 2, 115. <https://doi.org/10.4172/2472-1182.1000115>
- Gill, S.S., Tuteja, N., 2010. Reactive oxygen species and antioxidant machinery in abiotic stress tolerance in crop plants. *Plant Physiology and Biochemistry.* 48, 909–930. <https://doi.org/10.1016/j.plaphy.2010.08.016>
- Gokcay, D., 2012. Physiological and biochemical screening of different Turkish lentil (*Lens culinaris* M.) cultivars under drought stress condition. MSc dissertation, Natural and Applied Sciences of Middle East Technical University, Turkey. 95.
- Goodsell, D.S., 2004. Catalase. Molecule of the Month. RCSB Protein Data Bank. Retrieved 2021, from <https://pdb101.rcsb.org/motm/57>
- Hopkins, J., Tudhope, G.R., 1973. Glutathione peroxidase in human red cells in health and disease. *British Journal of Haematology.* 25, 563–575.
- Hussain, S., Khan, F., Cao, W., Wu, L., Geng, M., 2016. Seed priming alters the production and detoxification of reactive oxygen intermediates in rice seedlings grown under sub-optimal temperature and nutrient supply. *Frontiers Plant Science.* 7, 439. <https://doi.org/10.3389/fpls.2016.00439>
- IAEA, 2008. Field Estimation of Soil Water Content, A Practical Guide to Methods, Instrumentation and Sensor Technology. Retrieved 2021, from <https://www.iaea.org>.
- Jain, P., Bhatla, S.C., 2014. Signaling role of phospholipid hydroperoxide glutathione peroxidase (PHGPX) accompanying sensing of NaCl stress in etiolated sunflower seedling cotyledons. *Plant Signaling & Behavior.* 9, 6. <https://doi.org/10.4161/15592324.2014.97774>
- Jaleel, C.A., Gopi, R., Sankar, B., Gomathinayagam, M., Panneerselvam, R., 2008. Differential responses in water use efficiency in two varieties of *Catharanthus roseus* under drought stress. *Comptes Rendus Biologies.* 331, 42–47. <https://doi.org/10.1016/j.crvi.2007.11.003>
- Kasim, W.A., Osman, M.E., Omar, M.N., Abd El-Daim, I.A., Bejai, S., Meijer, J., 2013. Control of drought stress in wheat using plant-growth-promoting bacteria. *Journal of Plant Growth Regulation.* 32, 122–130.

- Kliebenstein, D.J., Monde, R.A., Last, R.L., 1998. Superoxide dismutase in *Arabidopsis*: an eclectic enzyme family with disparate regulation and protein localization. *Plant Physiology*. 118, 637-650.
- Li, C., Jiang, D., Wollenweber, B., Li, Y., Dai, T., Cao, W., 2011. Waterlogging pretreatment during vegetative growth improves tolerance to waterlogging after anthesis in wheat. *Plant Science*. 180, 672-678. <https://doi.org/10.1016/j.plantsci.2011.01.009>
- Li, X., Tang, Y., Li, H., Luo, W., Zhou, C., 2020. Lixin Zhang, Jinyin Lv, A wheat R2R3 MYB gene TaMpc1-D4 negatively regulates drought tolerance in transgenic *Arabidopsis* and wheat. *Plant Science*. 299, 110613. <https://doi.org/10.1016/j.plantsci.2020.110613>
- Lou, L., Li, X., Chen, J., Li, Y., Tang, Y., et al., 2018. Photosynthetic and ascorbate-glutathione metabolism in the flag leaves as compared to spikes under drought stress of winter wheat (*Triticum aestivum* L.). *PLOS ONE*. 13, 3. <https://doi.org/10.1371/journal.pone.0194625>
- Lu, S.C., 2013. Glutathione synthesis. *Biochimica et Biophysica Acta (BBA) - General Subjects*. 1830:5, 3143-3153.
- Luna, C.M., Pastori, G.M., Driscoll, S., Groten, K., Bernard, S., Foyer, C.H., 2005. Drought controls on H₂O₂ accumulation, catalase (CAT) activity and CAT gene expression in wheat. *Journal of Experimental Botany*. 5, 417-423.
- Ma, X., Deng, D., Chen, W. 2017. Inhibitors and Activators of SOD, GSH-Px, and CAT. In Enzyme Inhibitors and Activators. InTechOpen. London, UK, pp. 207-224. <https://doi.org/10.5772/65936>.
- Maehly, A.C., Chance, B., 1954. The assay of catalases and peroxidases. *Methods of Biochemical Analysis*. 1, 357-424.
- Majd, F., Ardakani, M.R., 2003. Nuclear Techniques In Agricultural Sciences. University of Tehran Press. 381p. [In Persian].
- Malek, M., Galavi, M., Ramroudi, M., Nakhzari Moghaddam, A. 2019. Evaluation of drought tolerance of wheat cultivars under water deficiency stress after flowering. *Journal of Crop Production*. 12, 123-136. <https://doi.org/10.22069/ejcp.2019.15545.2161>
- Mesgaran, M., Madani, K., Hashemi, H., Azadi, P., 2016. Evaluation of land and precipitation for agriculture in Iran. Working paper 2.
- Stanford Iran 2040 project. Stanford University. <https://purl.stanford.edu/vf990qz0340>.
- McCord, J.M., Fridovich, I., 1969. Superoxide dismutase. An enzymic function for erythrocuprein (hemocuprein). *Journal of Biological Chemistry*. 244, 6049-6055.
- Md. Rohman, M., Alam, S.S., Akhi, A.H., Begum, F., Amiruzzaman, M., 2020. Response of catalase to drought in barley (*Hordeum vulgare* L.) seedlings and its purification. *African Journal of Biotechnology*. 19, 478-486.
- Miller, A.F., 2012. Superoxide dismutases: ancient enzymes and new insights. *FEBS Letters*. 586, 585-595.
- Minami, M., Yoshikawa, H., 1979. A simplified assay method of superoxide dismutase activity for clinical use. *Clinica Chimica Acta*. 92:3, 337-342.
- Miri-hesar, K., Dadkhodaie, A., Dorostkar, S., Heidari, B., 2019. Differential activity of antioxidant enzymes and physiological changes in wheat (*Triticum aestivum* L.) under drought stress. *Notulae Scientia Biologicae*. 11, 266-276.
- Mohammakhani, N., Sharifi, P. 2016. Antioxidative response of different wheat genotypes to drought during anthesis. *Iranian Journal of Plant Physiology*. 6:4, 1845- 1854.
- Muthukumar, K., Nachiappan, V., 2010. Cadmium-induced oxidative stress in *Saccharomyces cerevisiae*. *Indian Journal of Biochemistry & Biophysics*. 47, 383-387.
- Muthukumar, K., Rajakumar, S., Sarkar, M.N., Nachiappan, V., 2011. Glutathione peroxidase3 of *Saccharomyces cerevisiae* protects phospholipids during cadmium-induced oxidative stress. *Antonie van Leeuwenhoek*. 99, 761-771.
- Navabpour, S., Yamchi, A., Bagherikia, S., et al., 2020. Lead-induced oxidative stress and role of antioxidant defense in wheat (*Triticum aestivum* L.). *Physiology and Molecular Biology of Plants*. 26, 793-802.
- Noctor, G., Foyer, C.H., 1998. Ascorbate and Glutathione: Keeping Active Oxygen Under Control. *Annual Review of Plant Physiology and Plant Molecular Biology*. 49, 249-279.
- Noormohammadi, Gh., Siadat, S.A., Kashani, A., 2007. Cereal Cultivation. Shahid Chamran University Press. Ahvaz. 446p. [In Persian].

- Nouri, H., Bagheri, Kia, S., Mahdavi Mushki, K., 2014. Plant Mutation Modification and Biotechnology. Agricultural Research and Education Publications and Natural Resources. 505p. [In Persian].
- Pastore, A., Piemonte, F., Locatelli, M., Lo Russo, A., Gaeta, L.M., Tozzi, G., Federici, G., 2001. Determination of blood total, reduced, and oxidized glutathione in pediatric subjects. *Clinical Chemistry*. 47, 1467–1469.
- Peng, J.H., Sun, D., Nevo, E., 2011. Domestication evolution, genetics and genomics in wheat. *Molecular Breeding*. 28, 281.
- Pilon, M., Ravet, K., Tapken, W., 2011. The biogenesis and physiological function of chloroplast superoxide dismutases. *Biochimica et Biophysica Acta*. 1807, 989-998.
- Pompella, A., Visvikis, A., Paolicchi, A., De Tata, V., Casini, A.F., 2003. The changing faces of glutathione, a cellular protagonist. *Biochemical Pharmacology*. 66, 1499–1503.
- Rajaram, S., Braun, H.J., van Ginkel, M., 1996. CIMMYT's approach to breed for drought tolerance. *Euphytica*. 92, 147-153.
- Razmi, G.R., 2016. Irrigation Management in Wheat Fields. East Azerbaijan Agricultural Jihad Organization. 6p. [In Persian]. <https://agrilib.areeo.ac.ir/book1573.pdf>.
- Reddy, A.R., Chaitanya, K.V., Vivekanandan, M., 2004a. Drought-induced responses of photosynthesis and antioxidant metabolism in higher plants. *Journal of Plant Physiology*. 161, 1189-1202.
- Reddy, A.R., Viswanatha Chaitanya, K., Vivekanandan, M., 2004b. Drought-induced responses of photosynthesis and antioxidant metabolism in higher plants. *Journal of Plant Physiology*. 161, 1189–1202.
- Sofo, A., Scopa, A., Nuzzaci, M., Vitti, A., 2015. Ascorbate peroxidase and catalase activities and their genetic regulation in plants subjected to drought and salinity stresses. *International Journal of Molecular Science*. 16, 13561–13578.
- Song, J., Zeng, L., Chen, R., Wang, Y., Zhou, Y., 2018. In silico identification and expression analysis of superoxide dismutase (SOD) gene family in *Medicago truncatula*. *3 Biotech*. 8, 348.
- Song, Q., Liu, C., Goudia Bachir, D., Chen, L., Hu, Y.G., 2017. Drought resistance of new synthetic hexaploid wheat accessions evaluated by multiple traits and antioxidant enzyme activity. *Field Crops Research*. 210, 91-103.
- Theophilo, B., Marta, V., 2010. A variation of the Field Capacity (FC) definition and a FC database for Brazilian soils. p. 1-4. 19th World Congress of Soil Science, Soil Solutions for Changing World. 1-6 August 2010. Brisbane, Australia.
- Wang, Z., Gerstein, M., Snyder, M., 2009. RNA-Seq: a revolutionary tool for transcriptomics. *Nature Reviews Genetics*. 10, 57–63.
- Wang, W., Zhang, X., Deng, F., Yuan, R., Shen, F., 2017. Genome-wide characterization and expression analyses of superoxide dismutase (SOD) genes in *Gossypium hirsutum*. *BMC Genomics*. 18, 376.
- Zadoks, J.C., Chang, T.T., Konzak, C.F., 1974. A decimal code for the growth stages of cereals. *Weed Research*. 14, 415-421.
- Zhang, J., Li, B., Yang, Y., Hu, W., Chen, F., Xie, L., Fan, L., 2016. Genome-Wide characterization and expression profiles of the superoxide dismutase gene family in *gossypium*. *International Journal of Genomics*. 8740901. <https://doi.org/10.1155/2016/8740901>
- Zhou, Y., Hu, L., Wu, H., Jiang, L., Liu, S., 2017. Genome-Wide Identification and transcriptional expression analysis of cucumber superoxide dismutase (SOD) family in response to various abiotic stresses. *International Journal of Genomics*. 7243973. <https://doi.org/10.1155/2017/7243973>